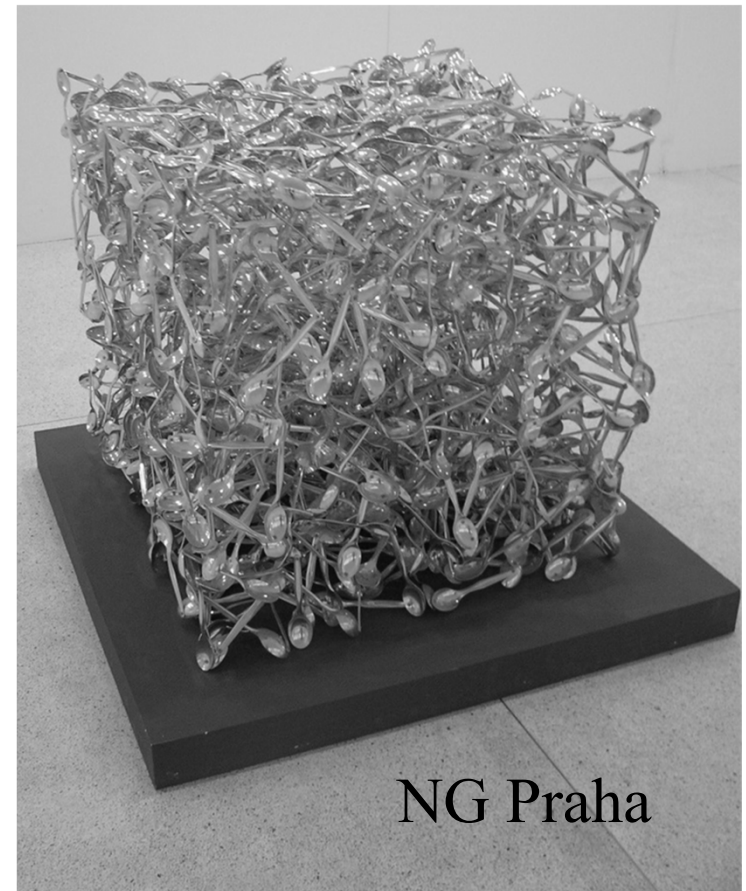
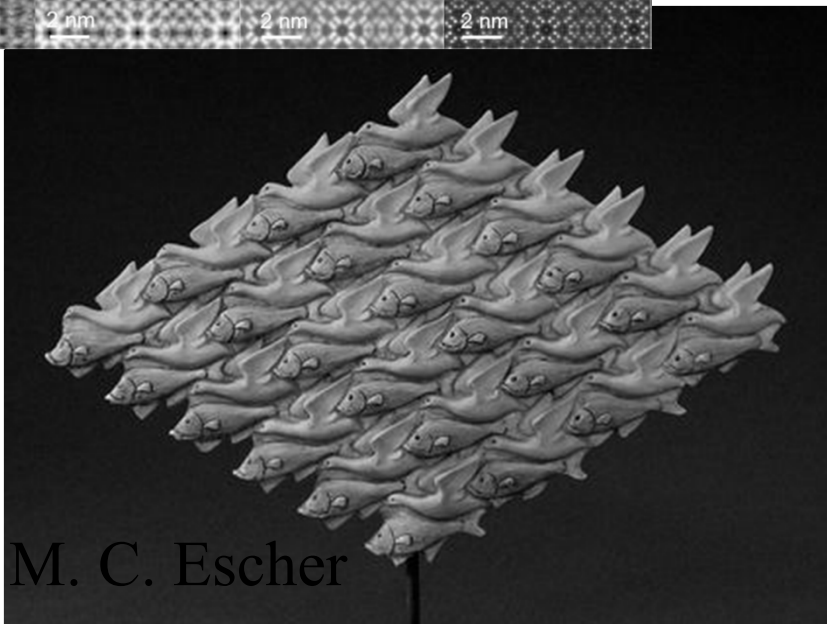
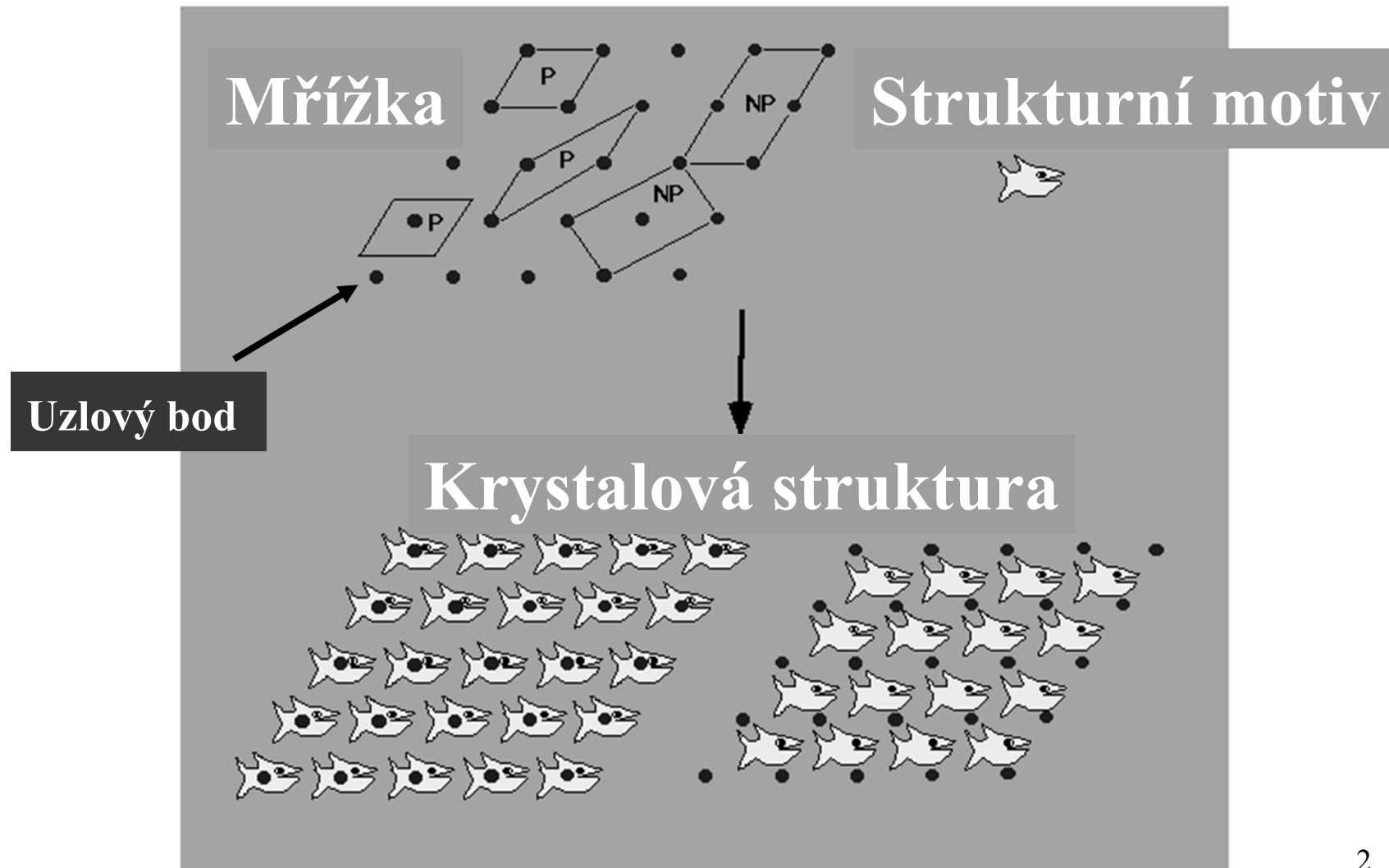


Struktura krystalických látek

Periodické opakování stejných stavebních jednotek



Mřížka a struktura

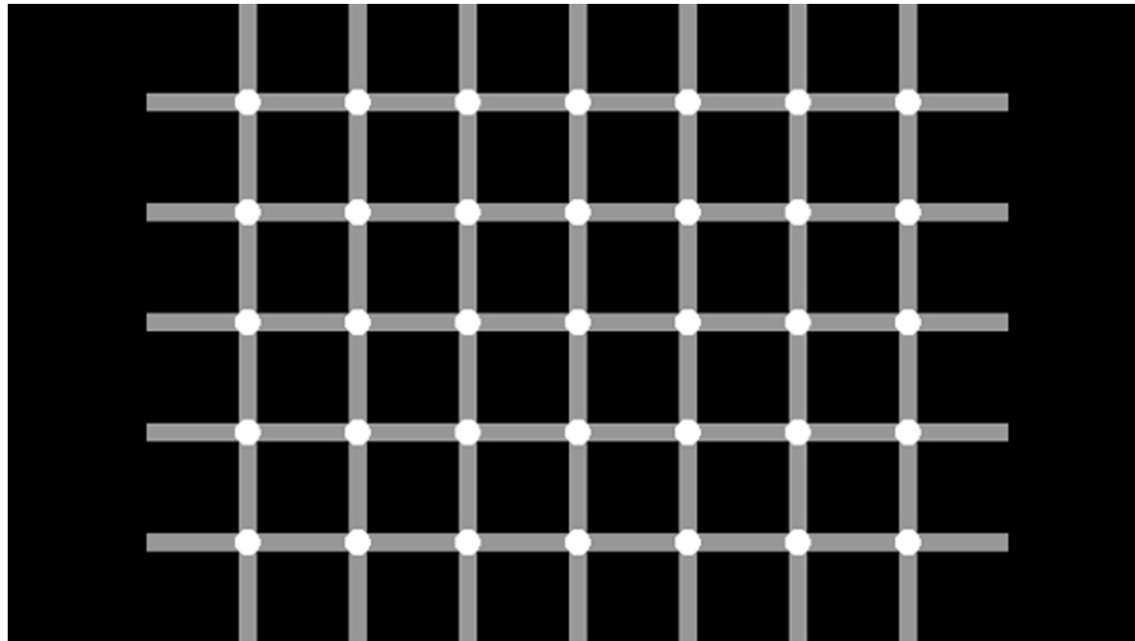


Mřížka

Geometrická abstrakce – popis krystalu

Množina bodů se stejným okolím

Všechny uzlové body jsou stejné fyzikálně a chemicky

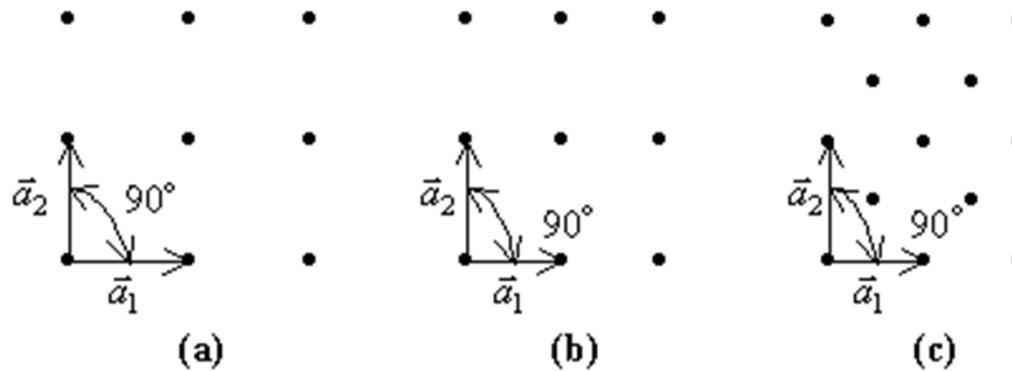


5 plošných mřížek

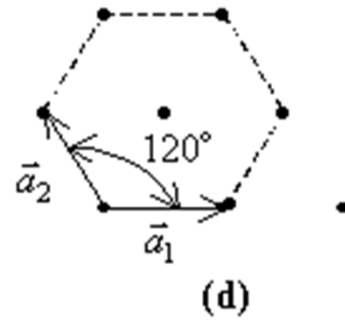
čtvercová

pravoúhlá

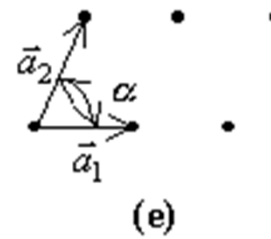
diamantová



hexagonální



rovnoběžníková

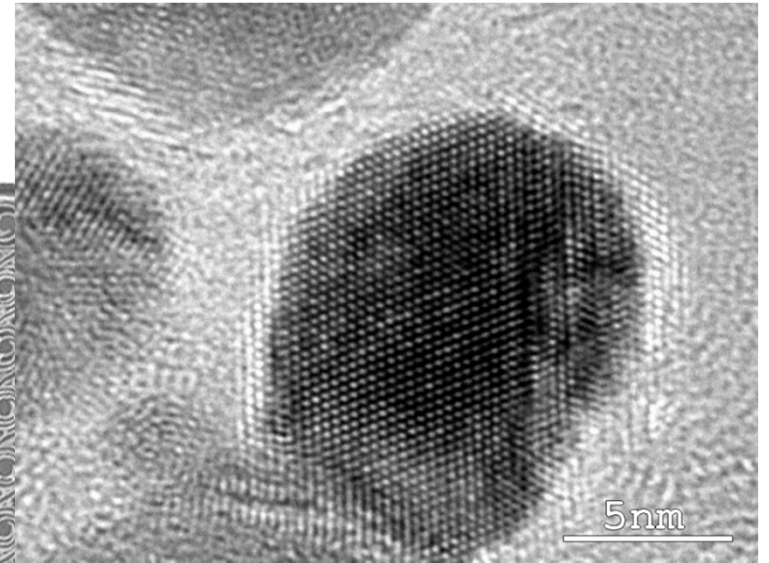
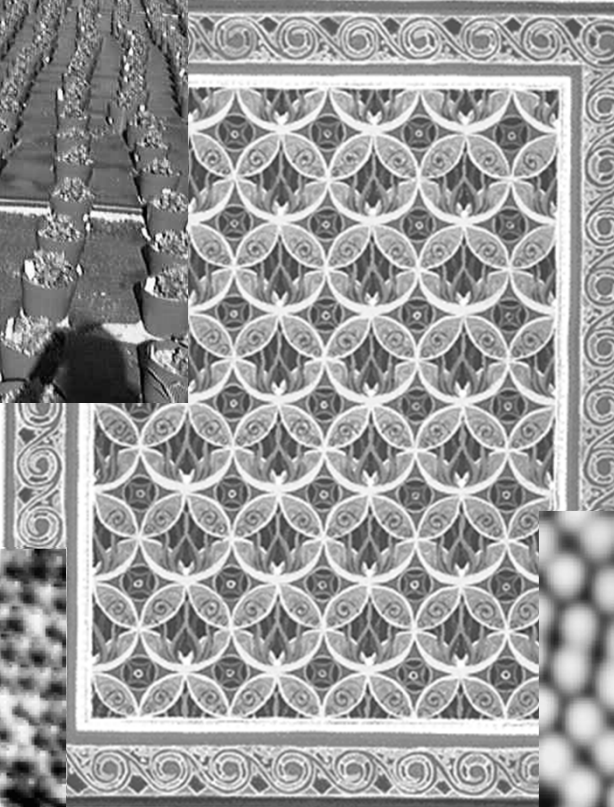


Name	Number of Bravais lattices	Conditions
Square	1	$a_1 = a_2, \alpha = 90^\circ$
Rectangular	2	$a_1 \neq a_2, \alpha = 90^\circ$
Hexagonal	1	$a_1 = a_2, \alpha = 120^\circ$
Oblique	1	$a_1 \neq a_2, \alpha \neq 120^\circ, \alpha \neq 90^\circ$

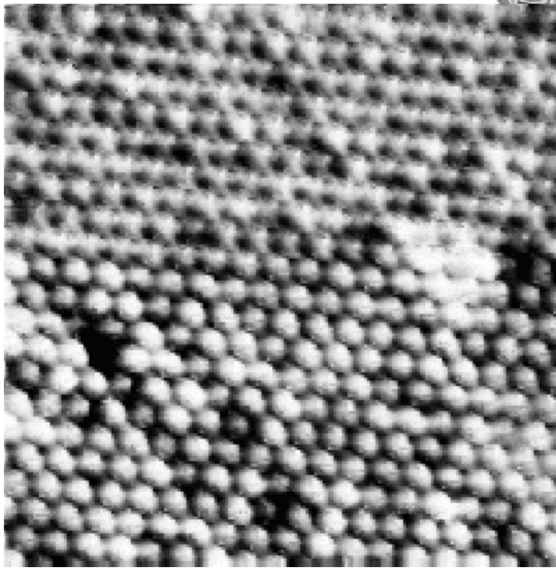
Elementární buňka

Periodickým opakováním elementární buňky vytvoříme krystal

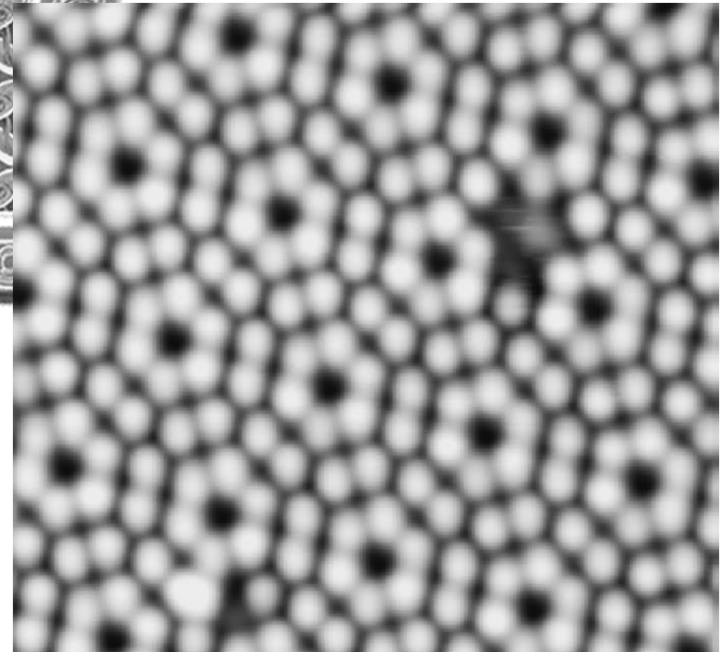




HRTEM AgCu



STM Nb/Se



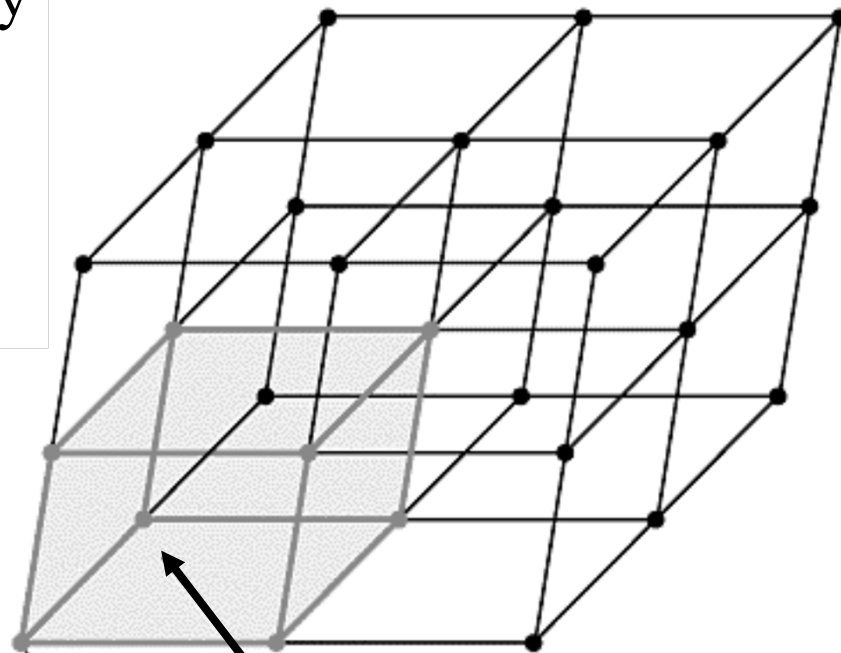
STM Si(111)

Mřížka a elementární buňka

Parametry elementární buňky

a, b, c – délky hran

α, β, γ – velikosti úhlů



Uzlový bod

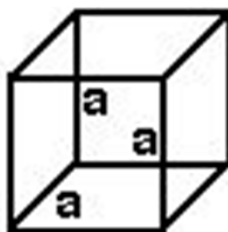
Elementární buňka

Sedm krystalových systémů

Krychlová
kubická

$$a = b = c$$

$$\alpha = \beta = \gamma = 90^\circ$$



Trigonální
romboedrická

$$a = b = c$$

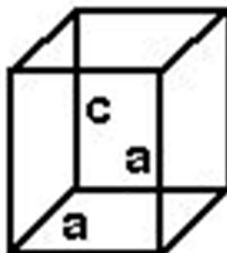
$$\alpha = \beta = \gamma \neq 90^\circ$$



Čtverečná
tetragonální

$$a = b \neq c$$

$$\alpha = \beta = \gamma = 90^\circ$$

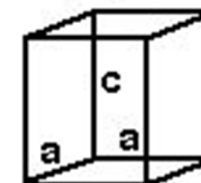


Šesterečná
hexagonální

$$a = b \neq c$$

$$\alpha = \beta = 90^\circ$$

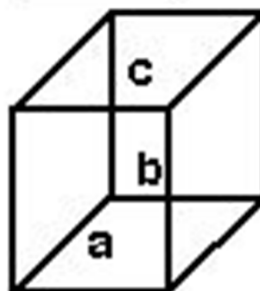
$$\gamma = 120^\circ$$



Kosočtverečná
ortorombická

$$a \neq b \neq c$$

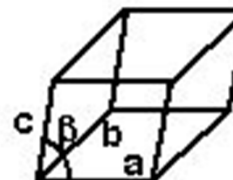
$$\alpha = \beta = \gamma = 90^\circ$$



Jednoklonná
monoklinická

$$a \neq b \neq c$$

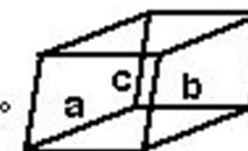
$$\alpha = \gamma = 90^\circ \neq \beta$$



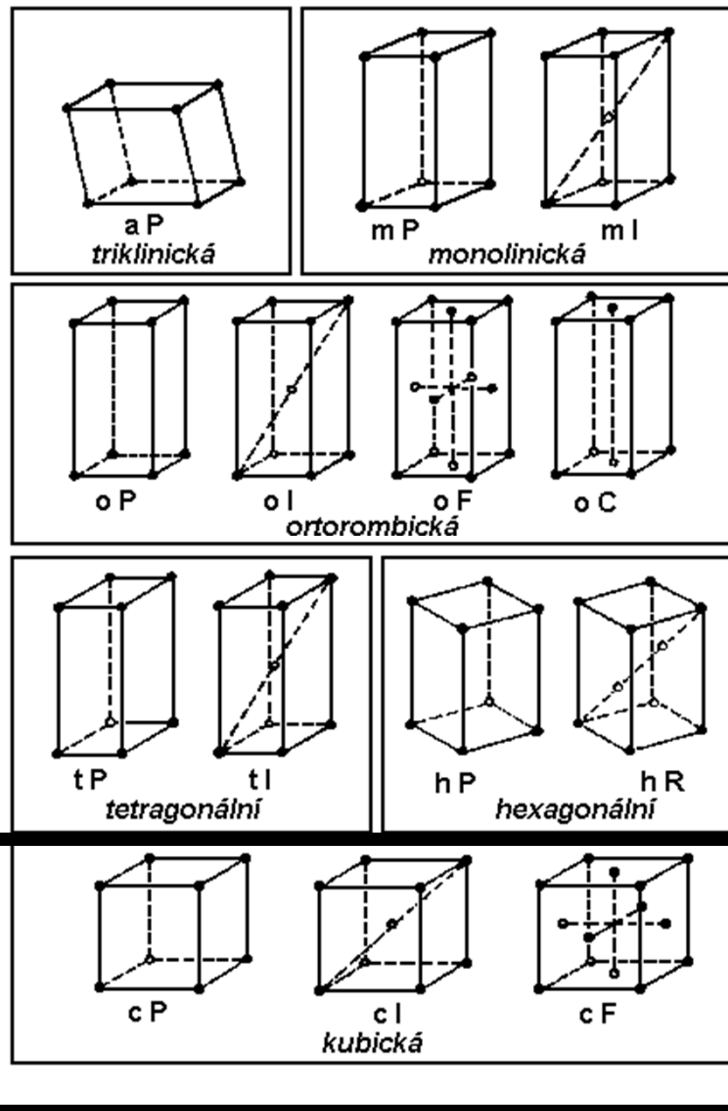
Trojklonná
triklinická

$$a \neq b \neq c$$

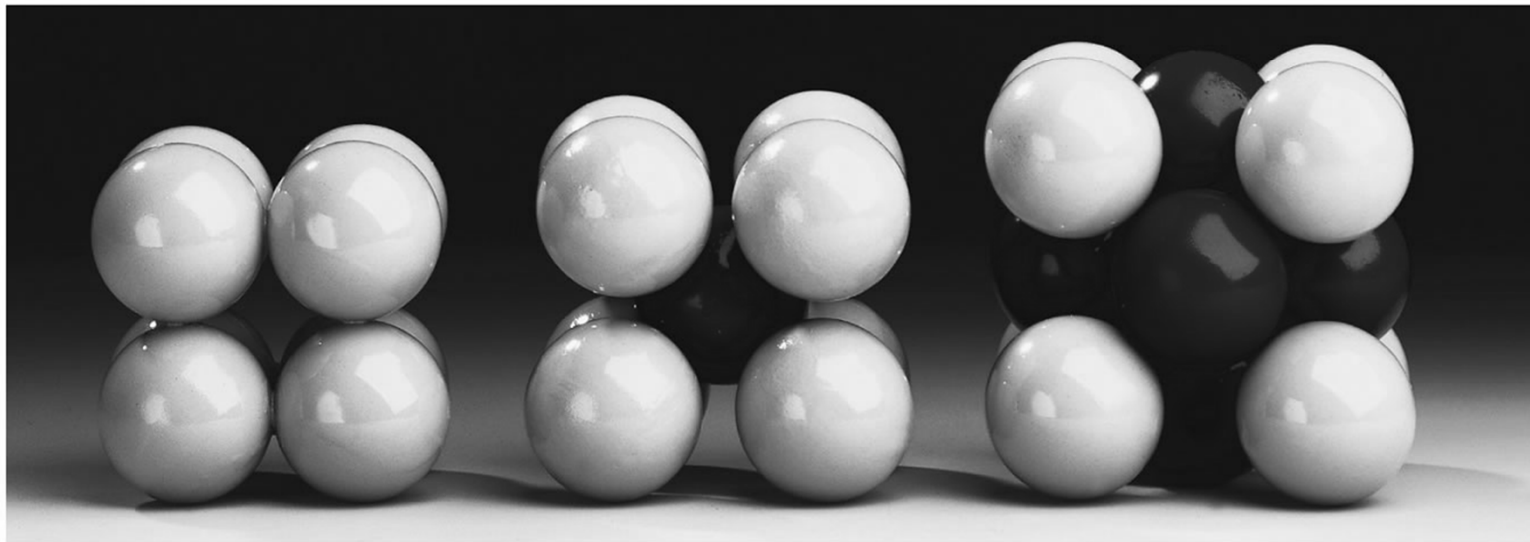
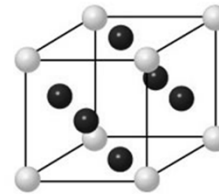
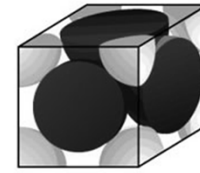
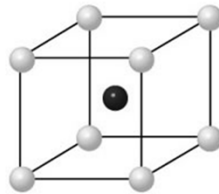
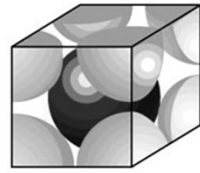
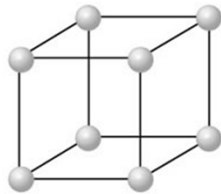
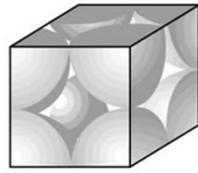
$$\alpha \neq \beta \neq \gamma \neq 90^\circ$$



14 Bravaisových mřížek



Tři kubické buňky

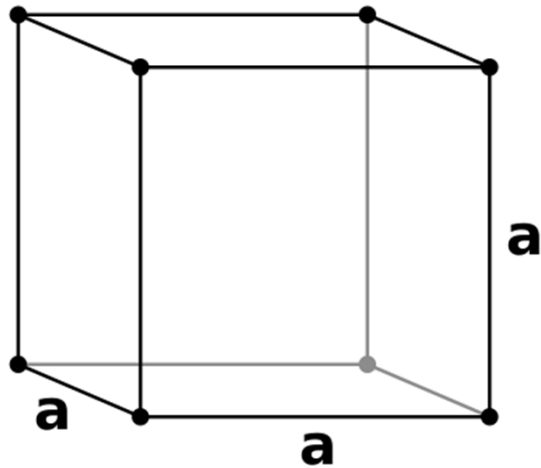


Primitivní (P)

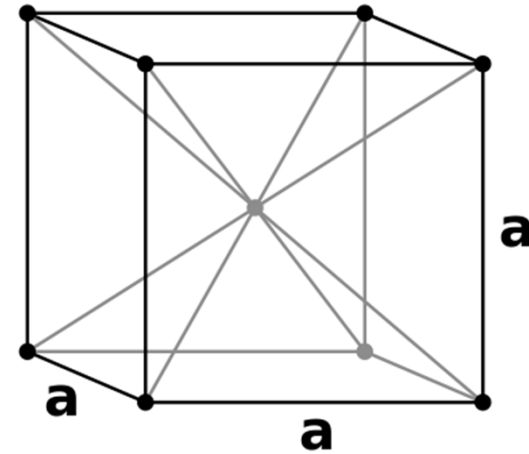
Prostorově centrovaná (I)
BCC

Plošně centrovaná (F)
FCC

Tři kubické buňky

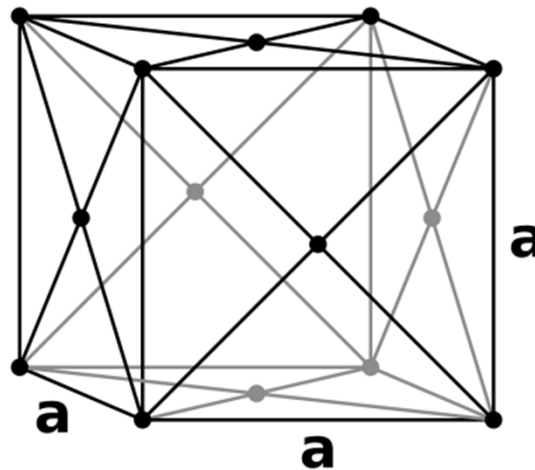


Primitivní (P)



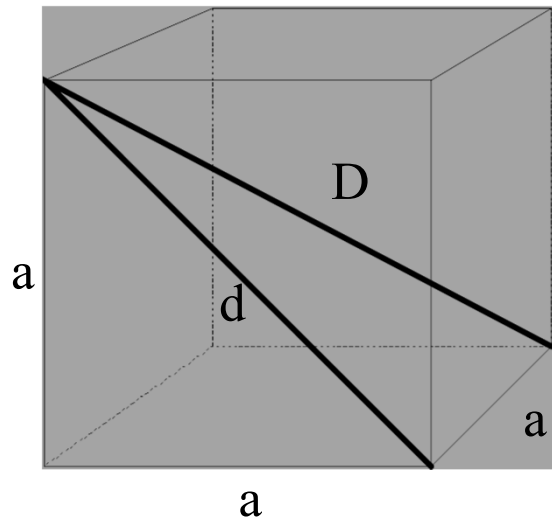
Prostorově centrovaná (I)
BCC

Plošně centrovaná (F)
FCC



Krychle

a = hrana



d = stěnová diagonála

$$(d^2 = a^2 + a^2 = 2a^2)$$

D = tělesová diagonála

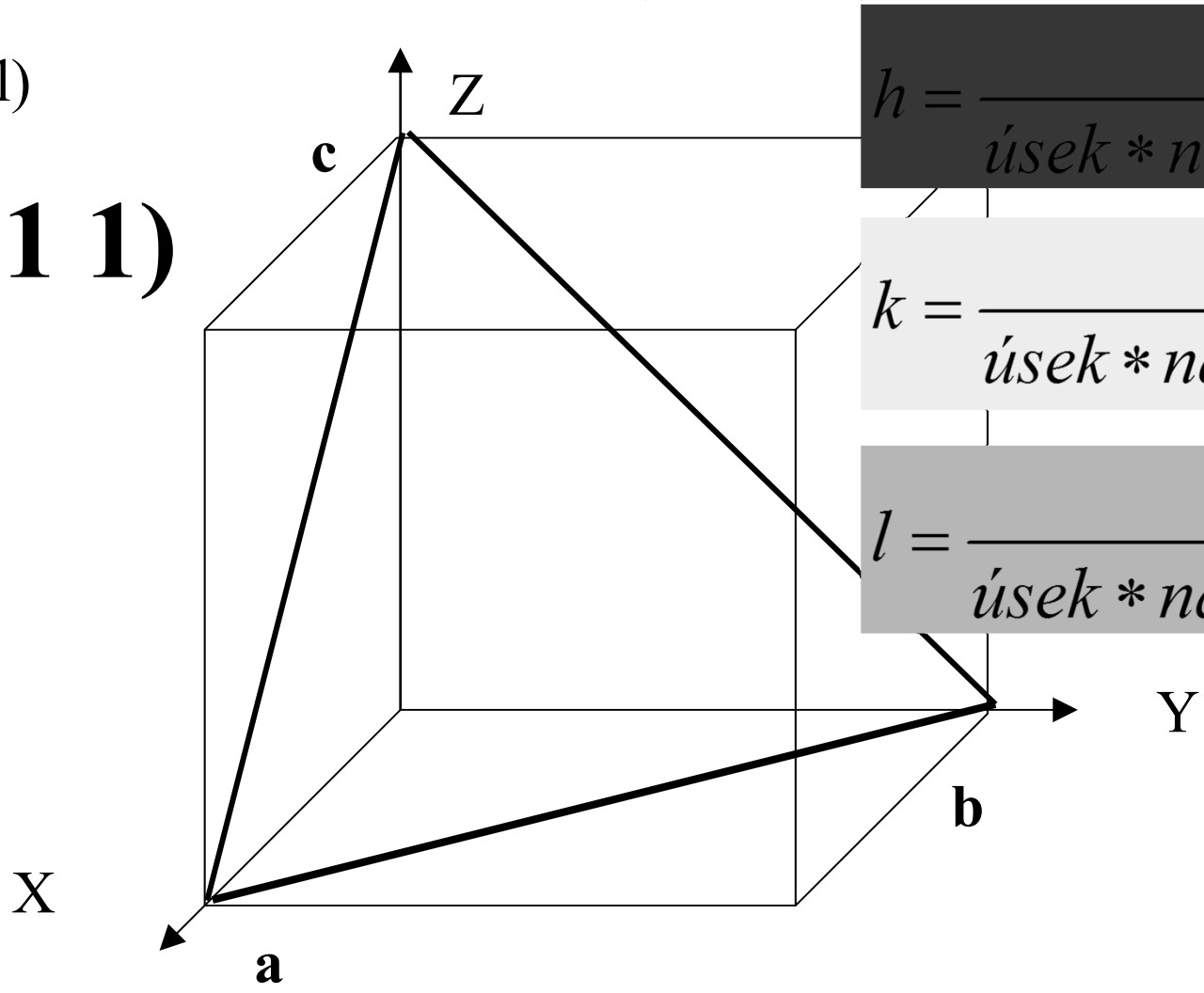
$$(D^2 = d^2 + a^2 = 2a^2 + a^2 = 3a^2)$$

$$d = \sqrt{2} \cdot a$$

$$D = \sqrt{3} \cdot a$$

Millerovy indexy

(h k l)
(1 1 1)

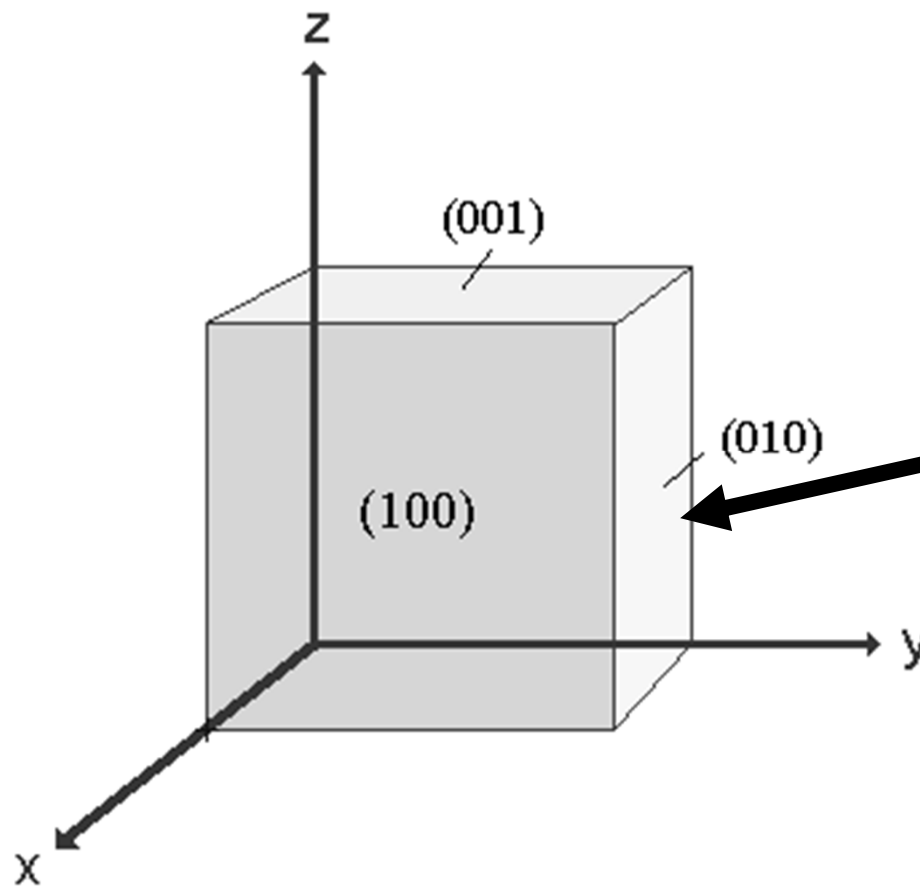


$$h = \frac{1}{\acute{u}sek * na * ose * x}$$

$$k = \frac{1}{\acute{u}sek * na * ose * y}$$

$$l = \frac{1}{\acute{u}sek * na * ose * z}$$

Millerovy indexy

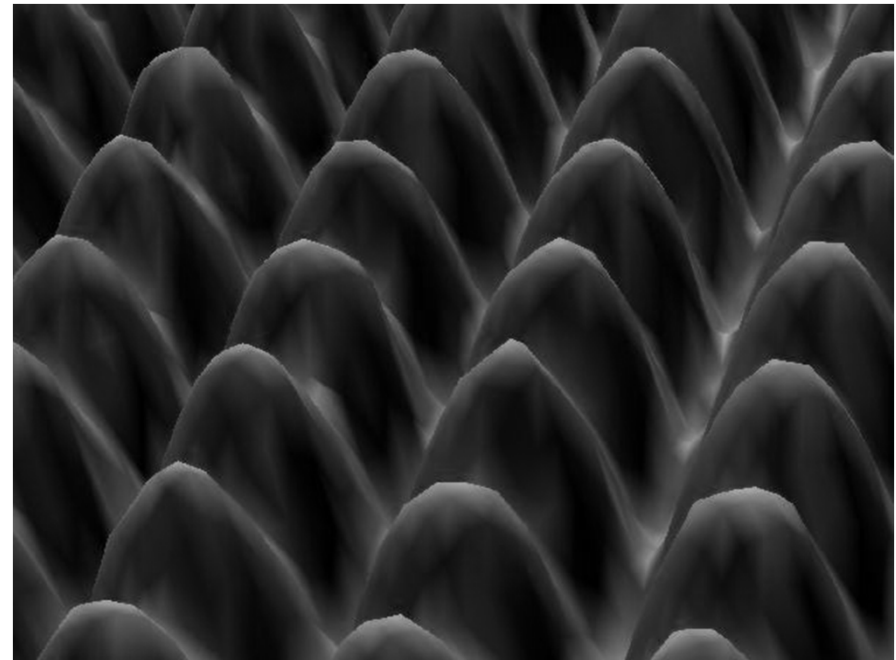
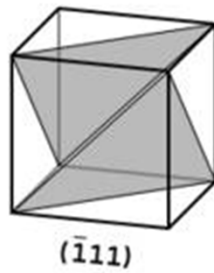
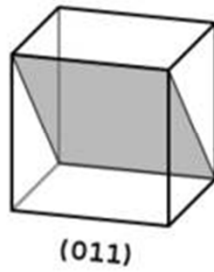
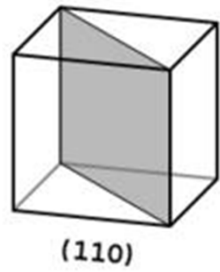
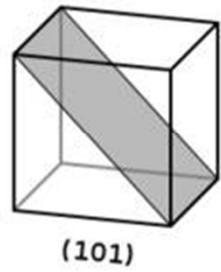
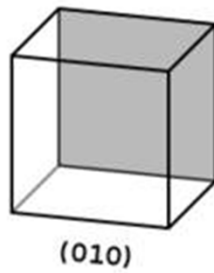
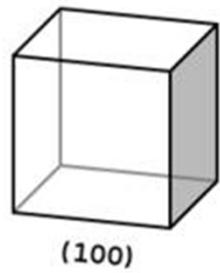
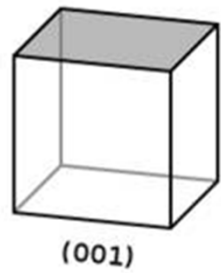


$h = 1/\text{úsek na } x$
 $k = 1/\text{úsek na } y$
 $l = 1/\text{úsek na } z$

$(0\ 1\ 0)$

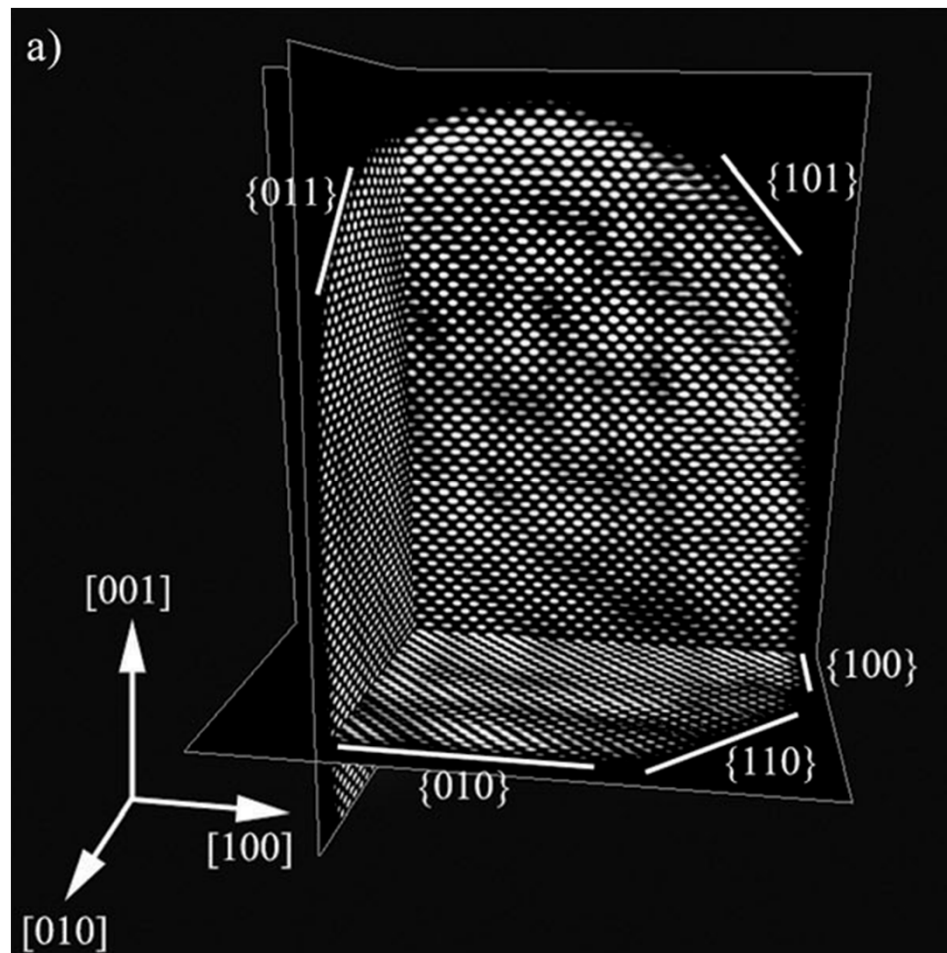
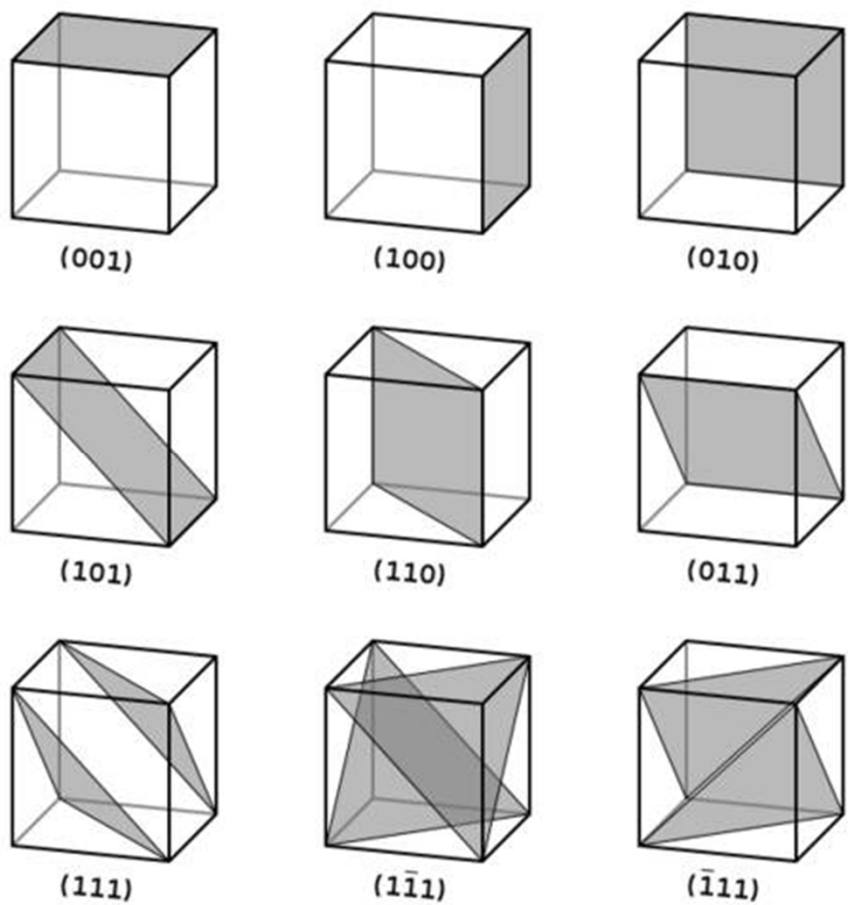
$h = 1 / \infty = 0$
 $k = 1 / 1 = 1$
 $l = 1 / \infty = 0$

Millerovy indexy



STM obraz Fe v (110) rovině

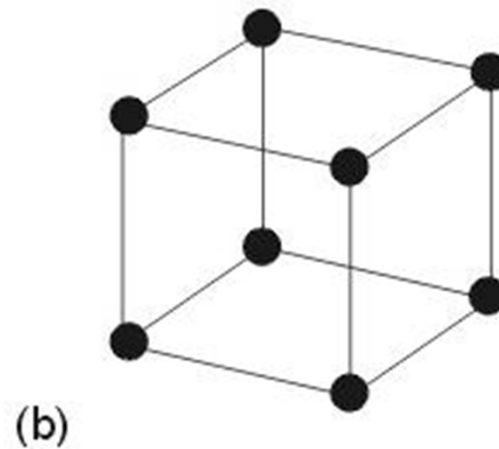
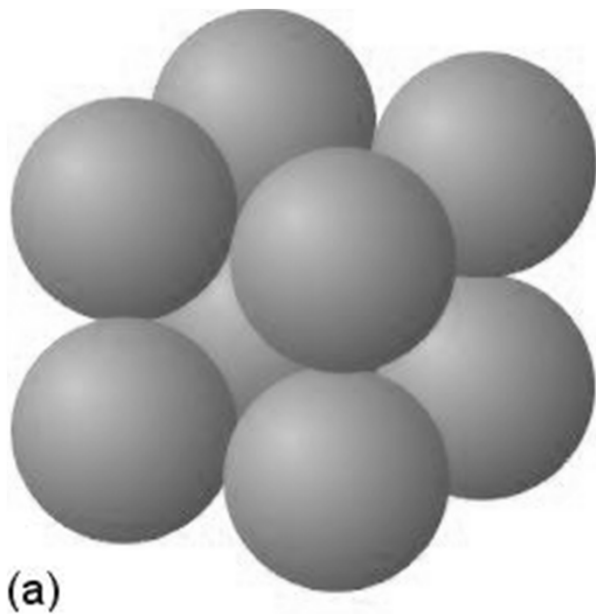
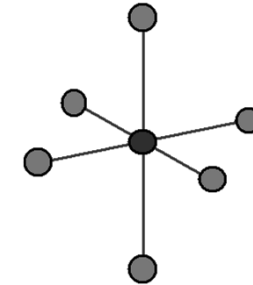
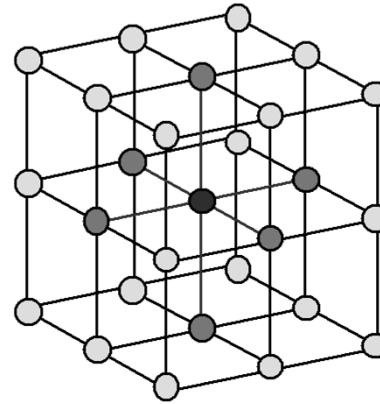
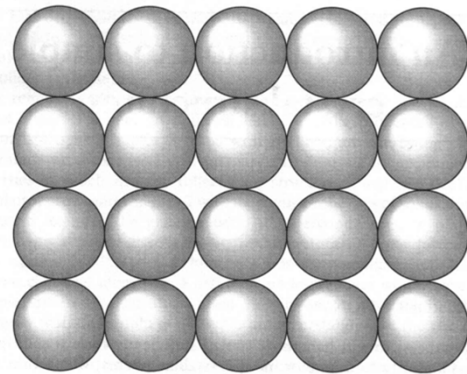
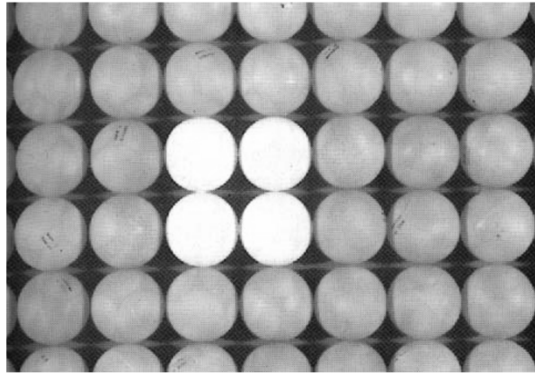
Millerovy indexy



16

TEM rekonstrukce Au nanotyčky

Primitivní kubická buňka, Po - Litviněnko



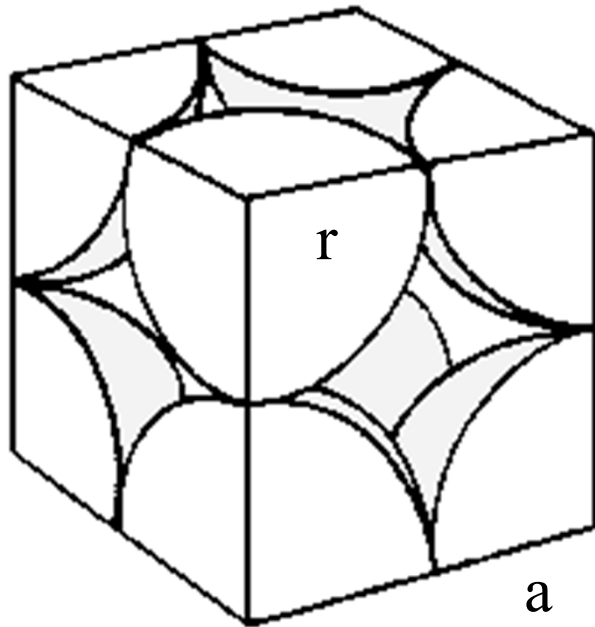
Zaplnění prostoru
52%

Koord. číslo 6

Primitivní kubická buňka

Počet uzlových bodů v buňce

$$\frac{1/8 \text{ atomu}}{\text{vrchol}} \times 8 \text{ vrcholů} = \frac{1 \text{ atom}}{\text{buňku}}$$



Zaplnění prostoru

atomy se dotýkají podél hrany (a)

$$a = 2r \quad \text{potom} \quad r = \frac{a}{2}$$

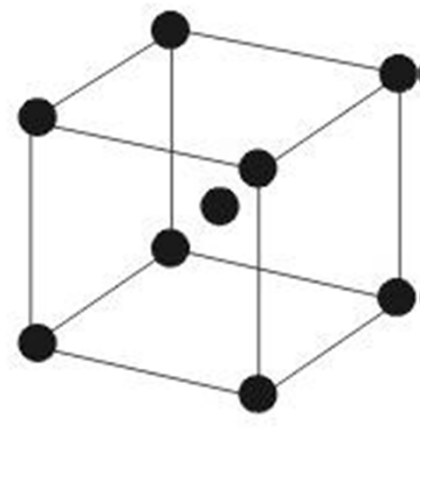
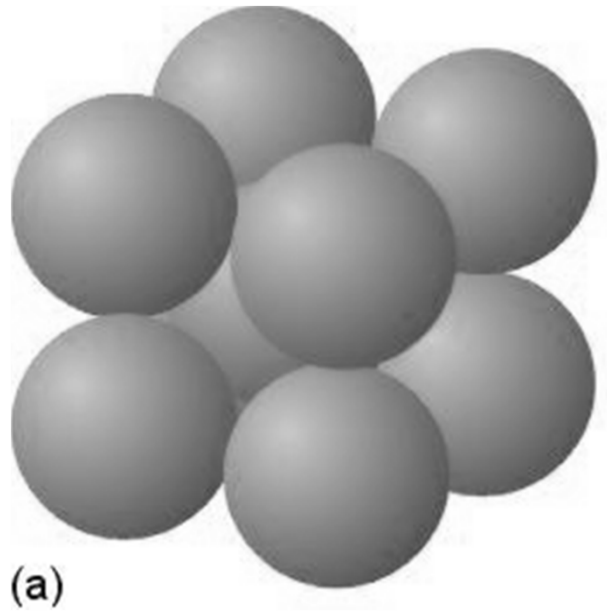
$$\text{Objem buňky } V = a^3 = 8r^3$$

Objem atomu uvnitř buňky

$$V_A = \frac{4}{3} \pi r^3$$

$$\text{Procento zaplnění} = \frac{V_a}{V} 100 = 52\%$$

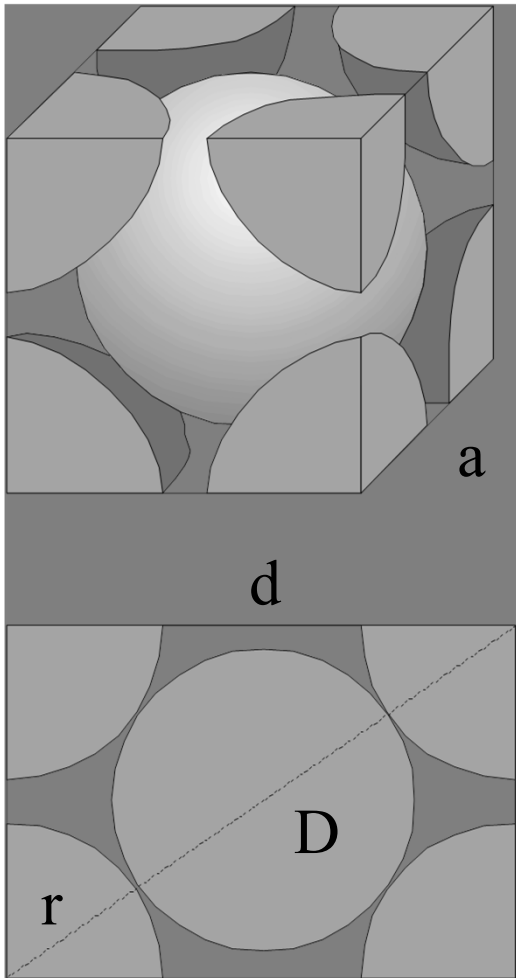
Tělesně centrovaná buňka, W



Zaplnění prostoru 68%

Koord. číslo 8

Tělesně centrovaná buňka, W



Počet atomů v buňce

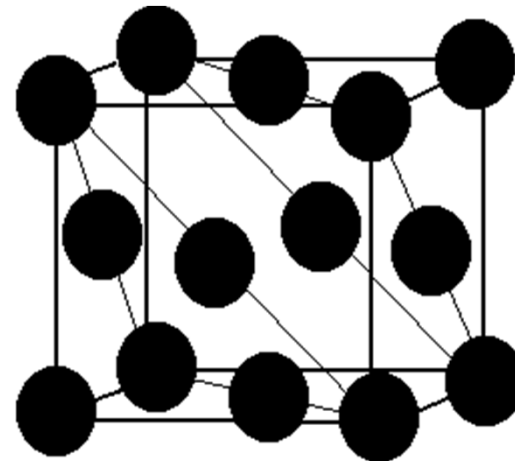
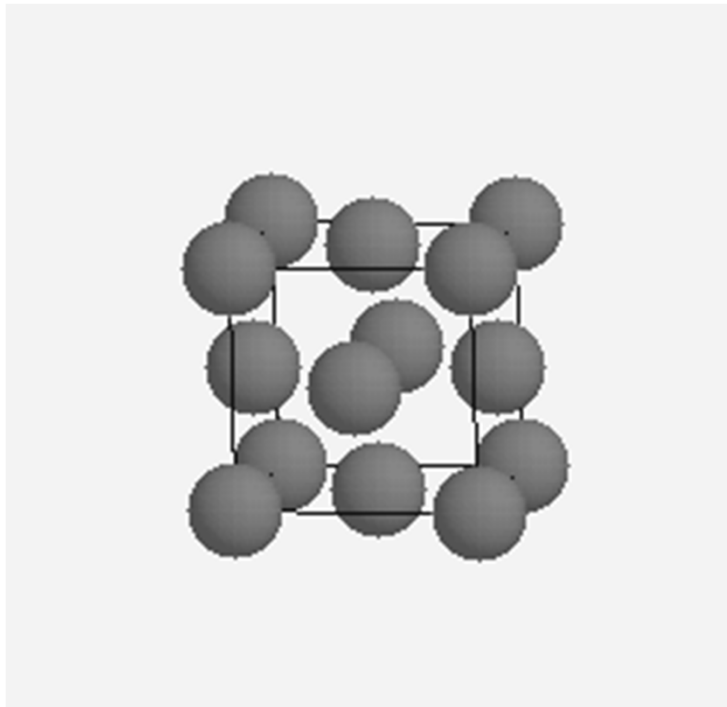
$$\frac{1/8 \text{ atomu}}{\text{vrchol}} \times 8 \text{ vrcholů} = 1 \text{ atom}$$
$$+ \text{střed} = 1 \text{ atom}$$
$$\underline{\underline{2 \text{ atomy/buňku}}}$$

atomy se dotýkají podél tělesové diagonály (D)

$$\mathbf{D = 4r = \sqrt{3} \cdot a}$$
$$a = \frac{4r}{\sqrt{3}} \quad \text{potom} \quad r = \frac{\sqrt{3} \cdot a}{4}$$
$$V = a^3 = \left(\frac{4r}{\sqrt{3}} \right)^3$$



Plošně centrovaná buňka, Cu (= nejtěsnější kubické uspořádání)



Zaplnění prostoru 74%

Koord. číslo 12

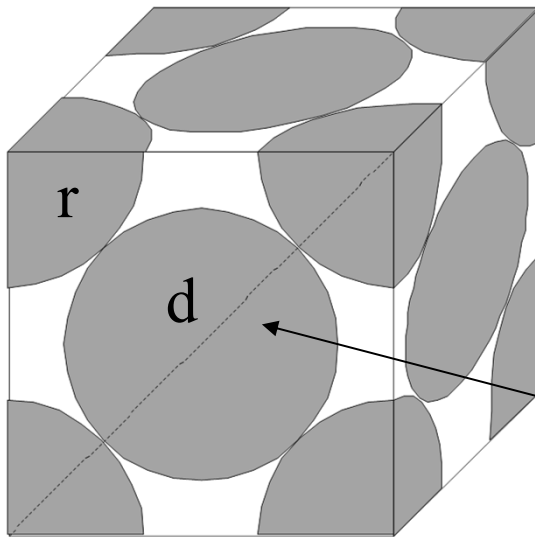
Plošně centrovaná buňka

Počet atomů v buňce

$$\frac{1/8 \text{ atomu}}{\text{vrchol}} \times 8 \text{ vrcholů} = 1 \text{ atom}$$

$$\frac{1/2 \text{ atomu}}{\text{stěnu}} \times 6 \text{ stěn} = 3 \frac{\text{atomy}}{\text{buňku}}$$

4 atomy/buňku



a

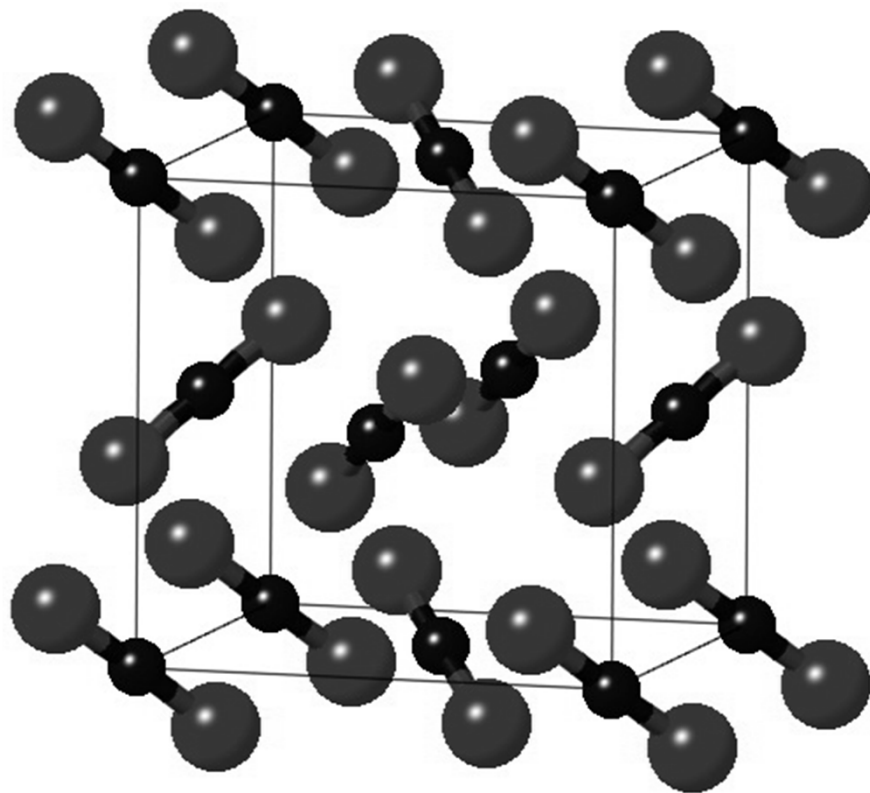
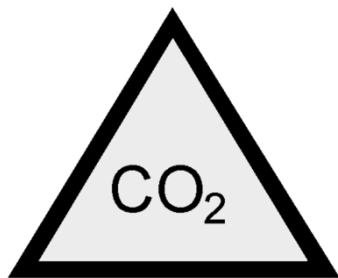
atomy se dotýkají podél stěnové diagonály (d)

$$d = 4r = \sqrt{2} \cdot a$$

$$a = \frac{4r}{\sqrt{2}} \quad \text{or} \quad r = \frac{\sqrt{2} \cdot a}{4}$$

$$V = a^3 = \left(\frac{4r}{\sqrt{2}} \right)^3$$

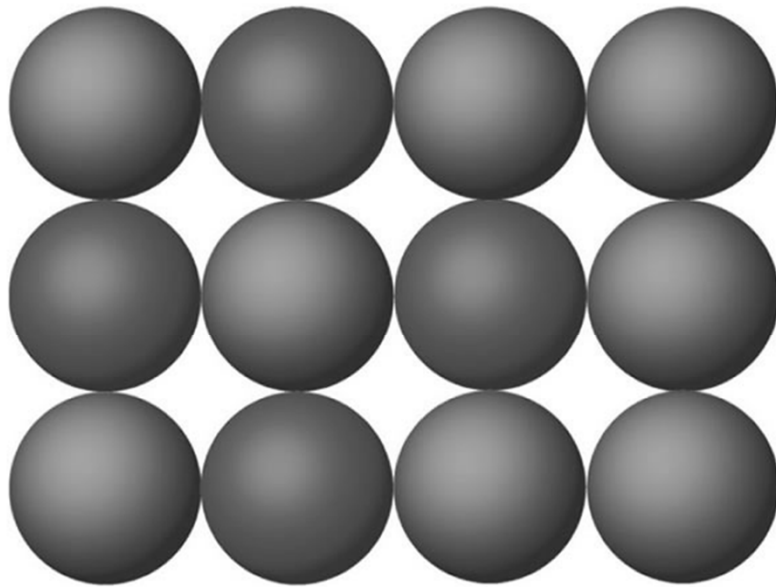
Struktura suchého ledu



Zaplnění prostoru

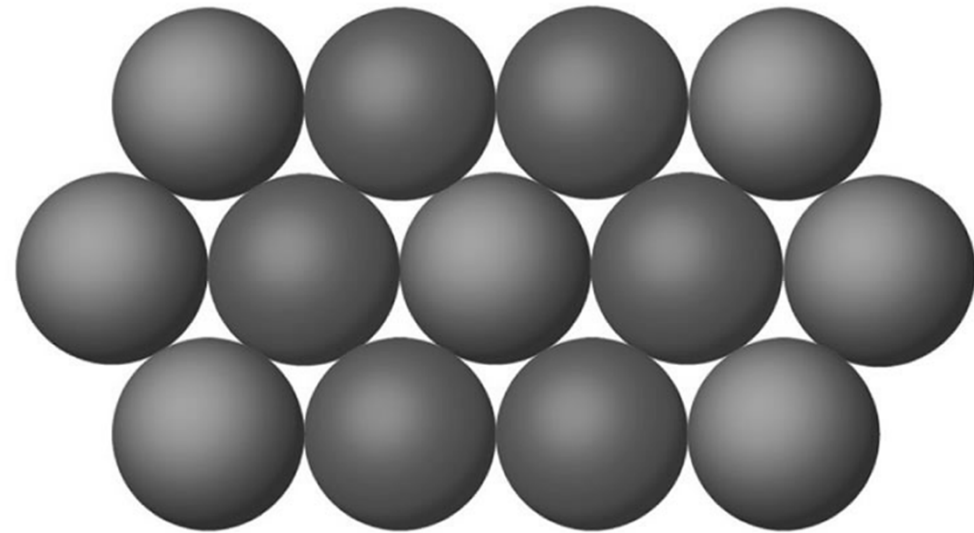
	Poloměr	Počet atomů	Zaplnění
Primitivní kubická	$a/2$	1	52%
Tělesně centrovaná	$\sqrt{3}a/4$	2	68%
Plošně centrovaná	$\sqrt{2}a/4$	4	74%
Diamant	$\sqrt{3}a/8$	8	34%

Nejtěsnější uspořádání na ploše



(a) An "open" packing

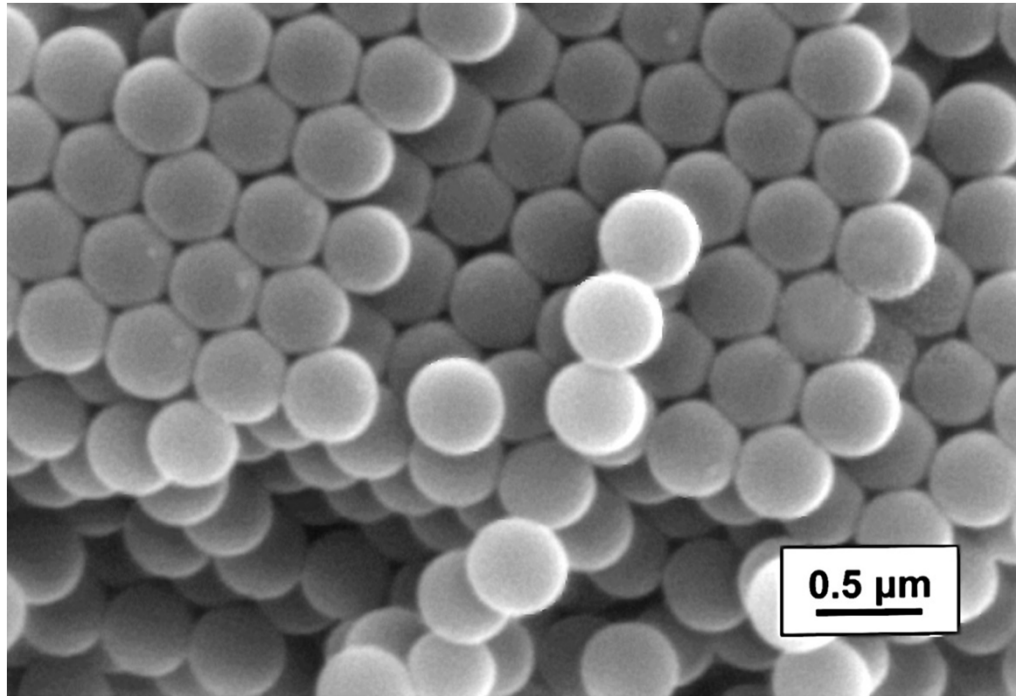
Čtvercové uspořádání
Hodně volného prostoru
4 sousední atomy



(b) Close packing

Hexagonální uspořádání
Nejllepší využití prostoru
6 sousedních atomů

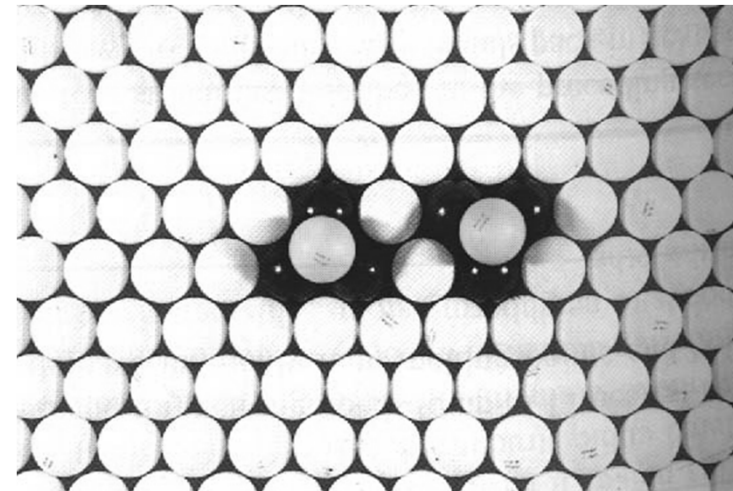
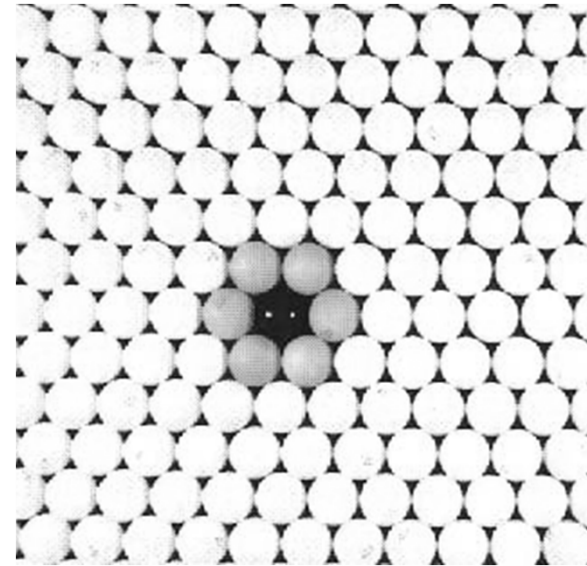
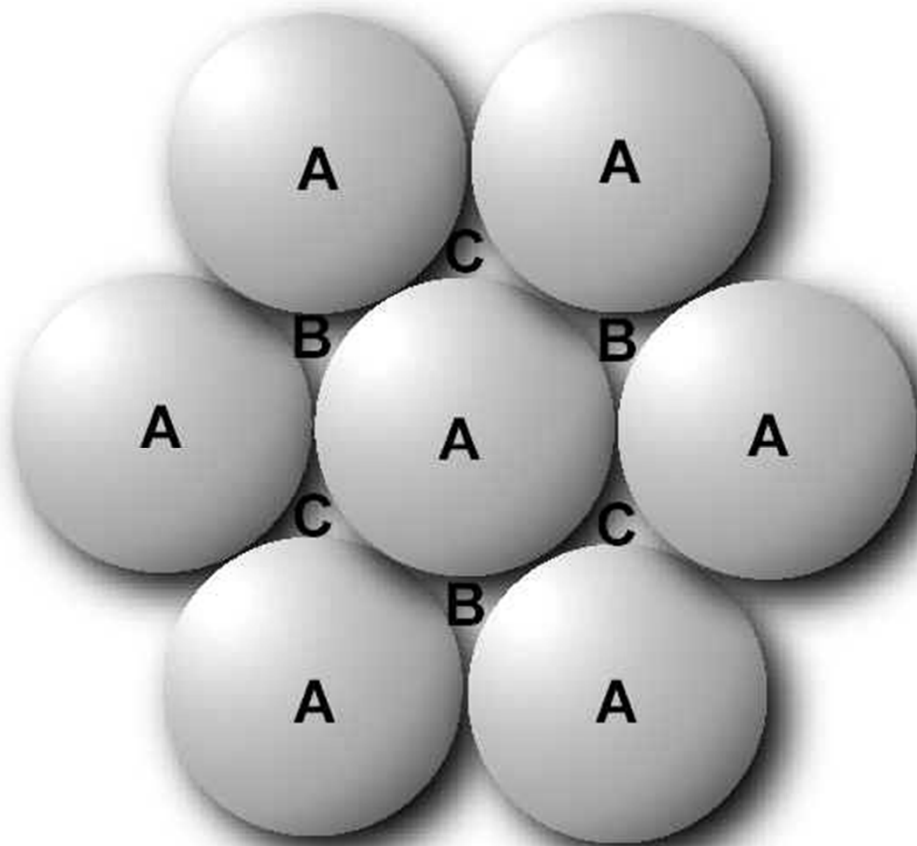
Nejtěsnější uspořádání



Polystyren 400 nm



Johannes Kepler 1611

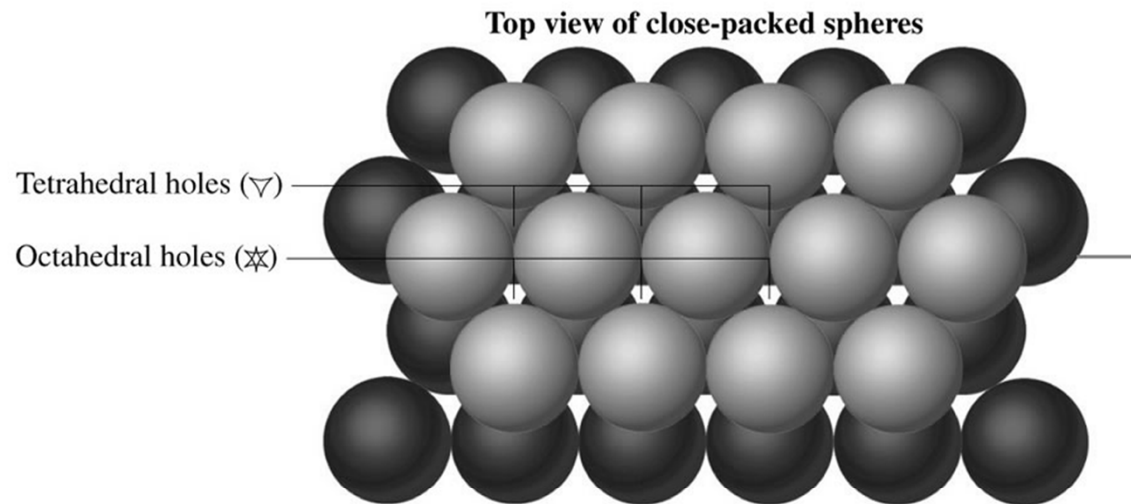


Mezery B a C nemohou být zároveň obsazeny atomy (v druhé vrstvě)

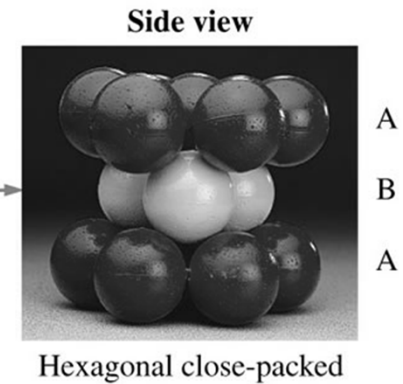
Třetí vrstva rozhodne

Dvě vrstvy nejtěsnějšího
uspořádání

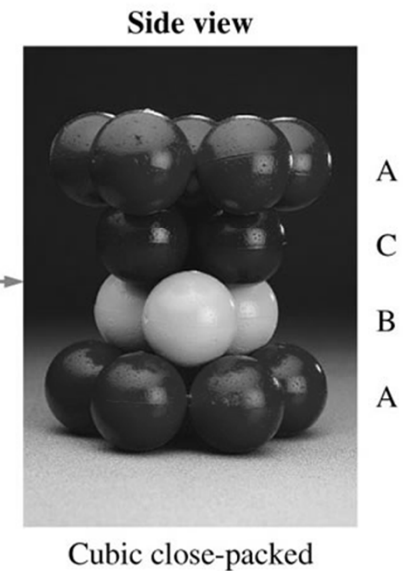
hexagonální



Cover
tetrahedral
holes in
layer B

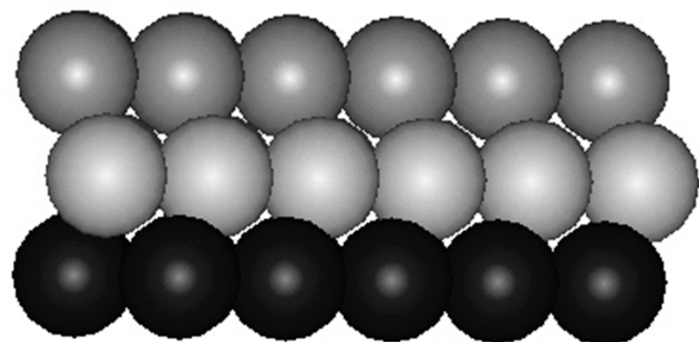


Cover
octahedral
holes in
layer B

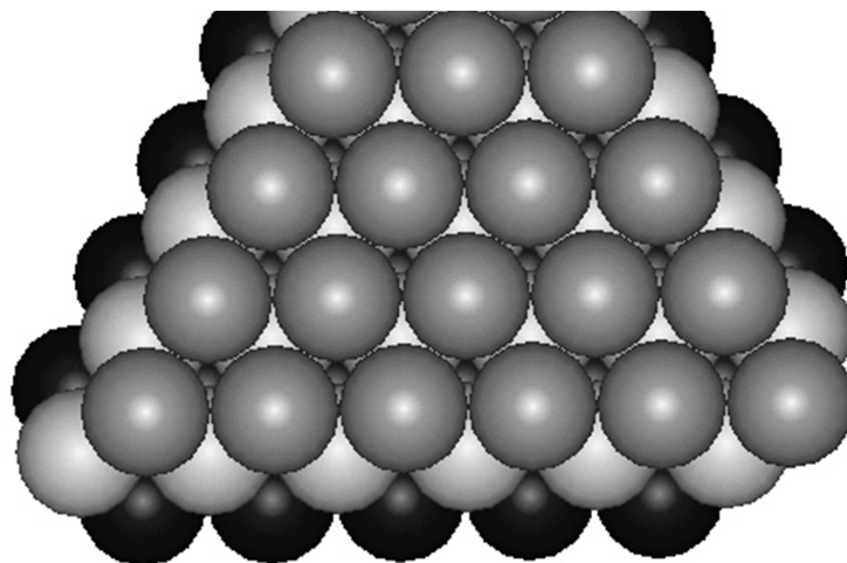
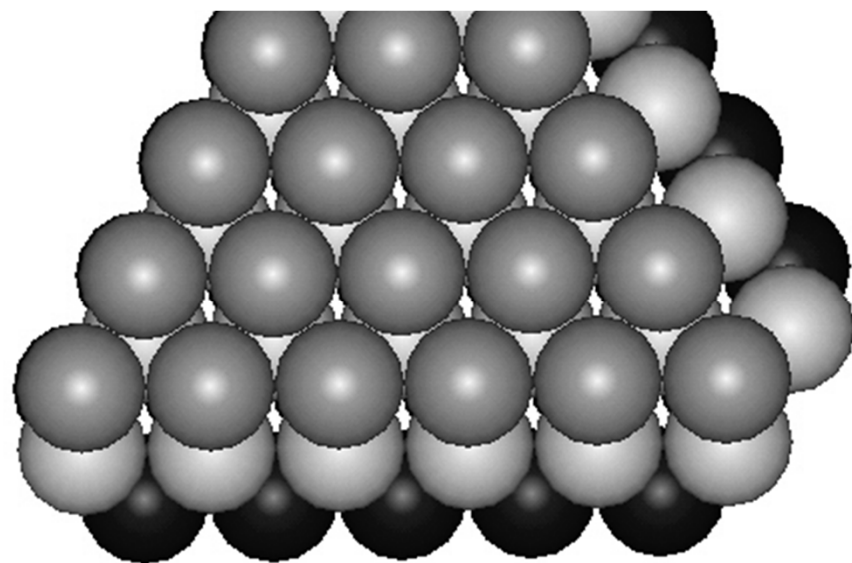
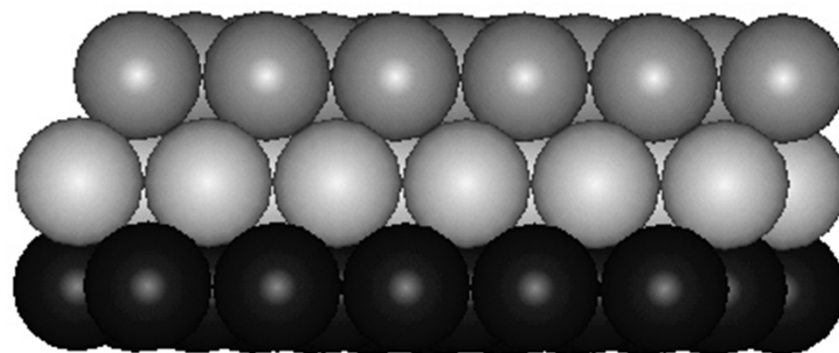


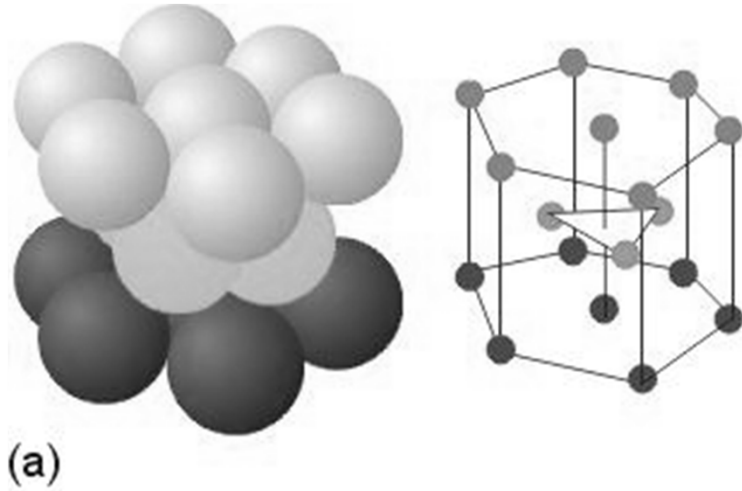
kubické

hexagonální

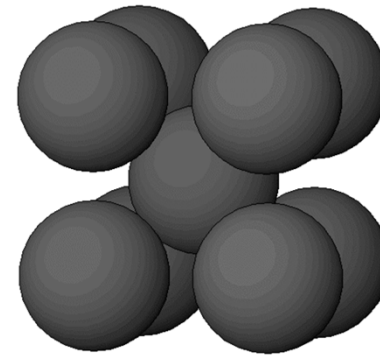


kubické

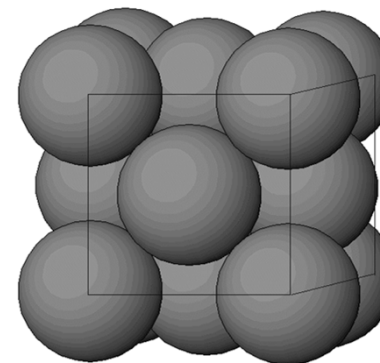
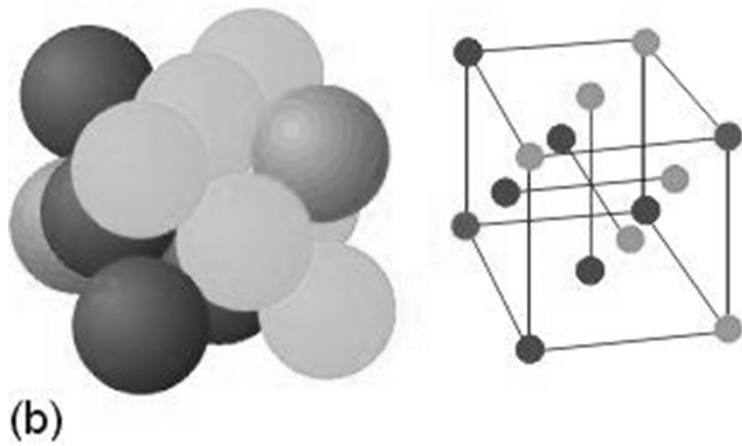




Mg, Be, Zn, Ni, Li, Be, Os, He



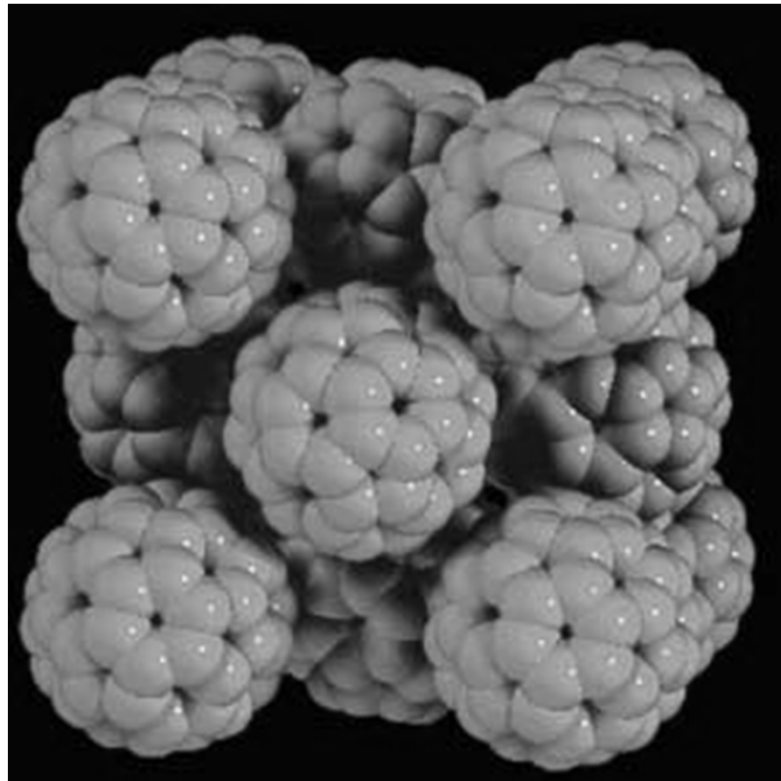
hexagonální



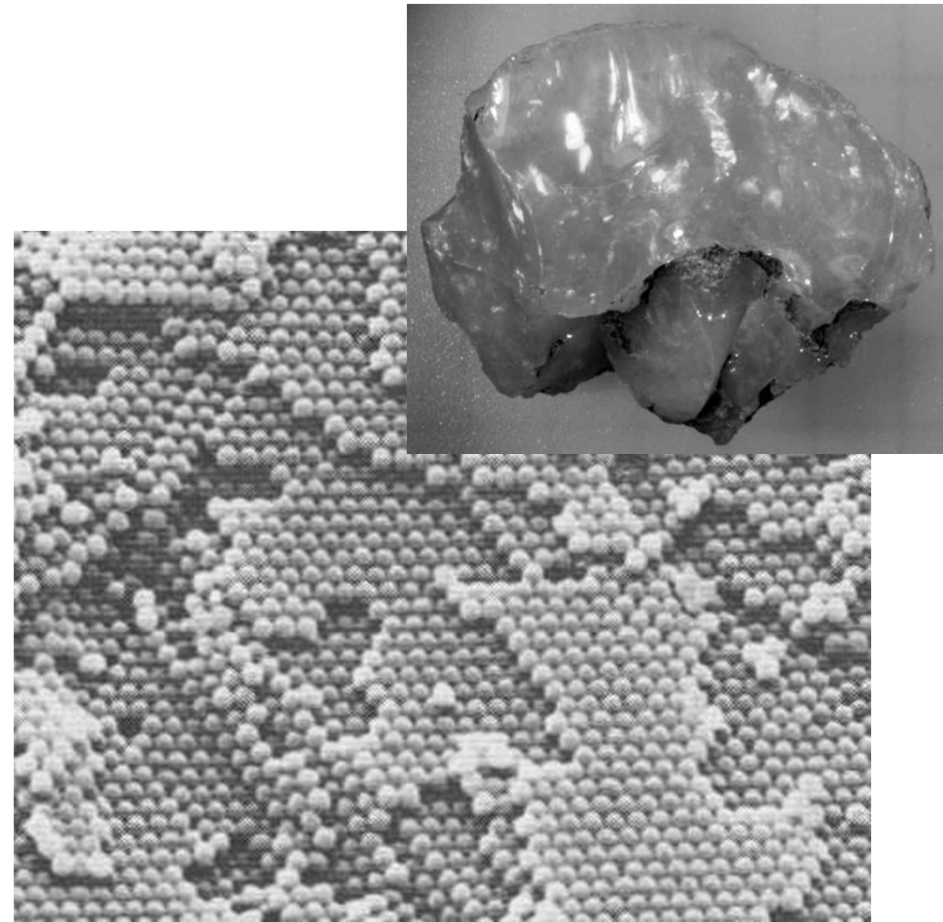
kubické

**Cu, Ca, Sr, Ag, Au, Ar, F₂, C₆₀,
opal (300 nm)**

Struktury z velkých částic



C₆₀ - Plošně centrovaná (F)
FCC = CCP



SEM - Opál – 300 nm SiO₂ částice
FCC = CCP

Primitivní buňka

$$Z = 1$$

Tělesně centrovaná buňka

$$Z = 2$$

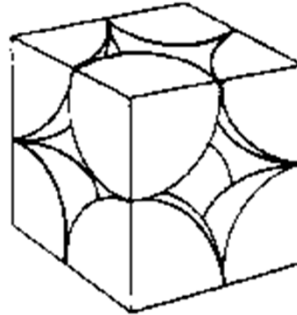
Nejtěsnější hexagonální uspořádání

Nejtěsnější kubické uspořádání

$$Z = 4$$

Typ uspořádání	Packing Efficiency	Coordination Number
----------------	--------------------	---------------------

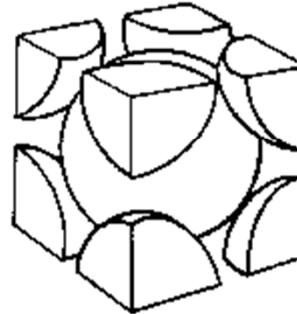
Simple cubic (sc)



52%

6

Body-centered cubic (bcc)



68%

8

Hexagonal close-packed (hcp)

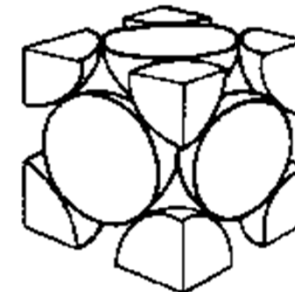
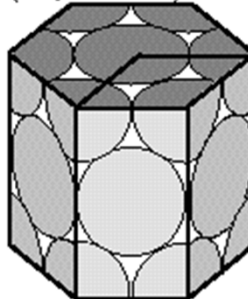
74%

12

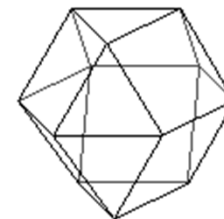
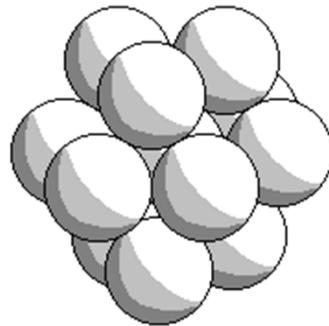
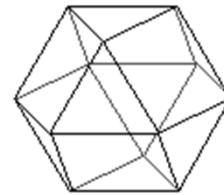
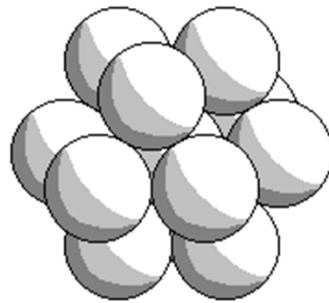
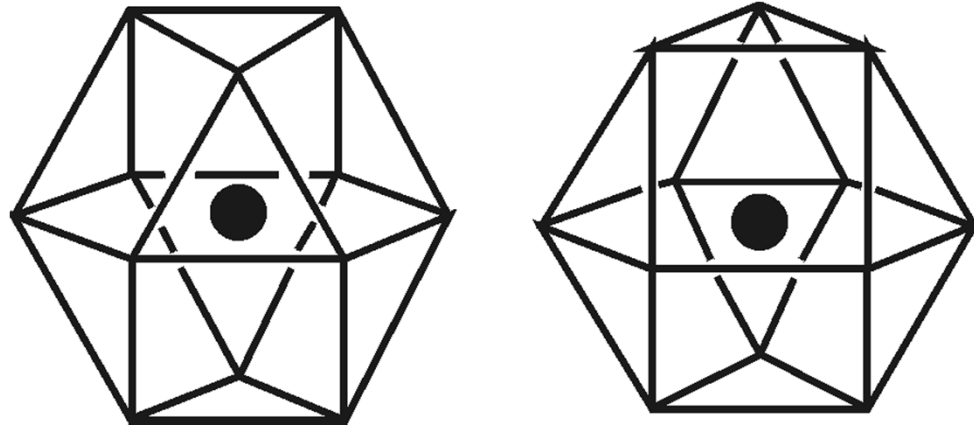
Cubic close-packed (ccp or fcc)

74%

12

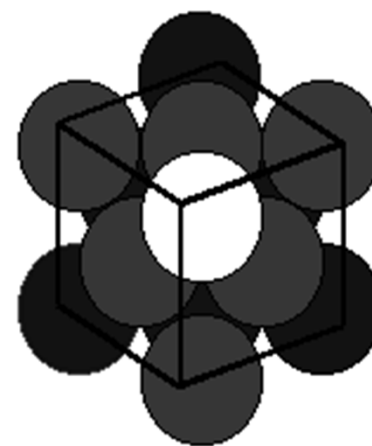
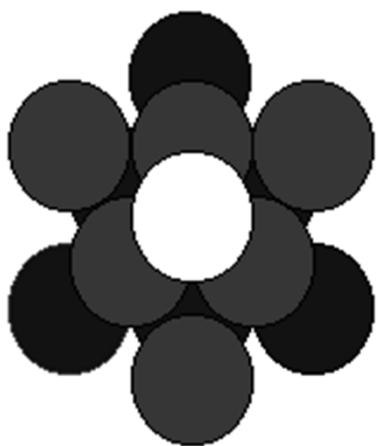


Koordinační polyedry



Nejtěsnější kubické uspořádání CCP = plošně centrovaná buňka FCC

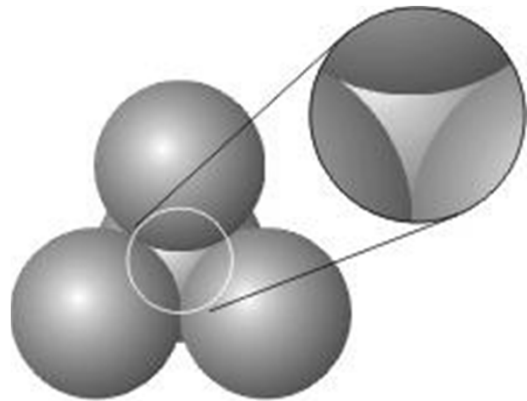
Skládání vrstev (ABC)



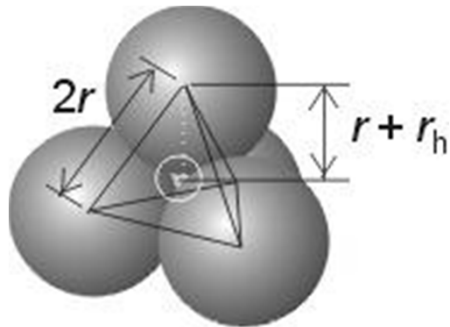
Nejtěsněji uspořádané vrstvy jsou orientovány kolmo k tělesové diagonále kubické buňky

Dva typy mezer v nejtěsnějším uspořádání

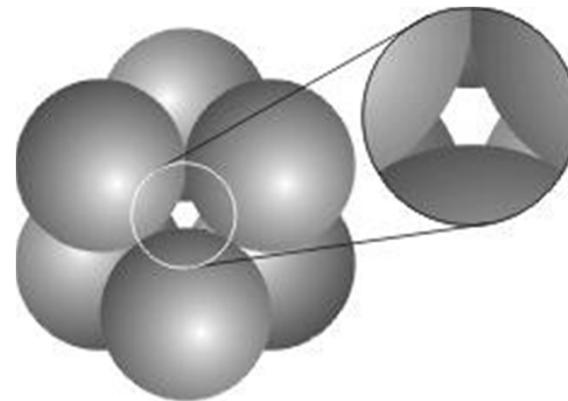
Tetraedrické mezery ($2N$)



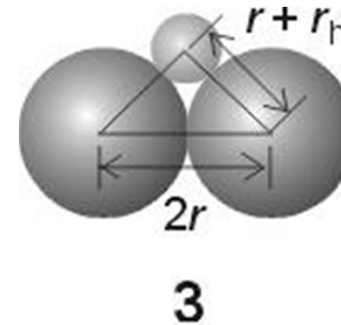
5 Tetrahedral hole



Oktaedrické mezery (N)



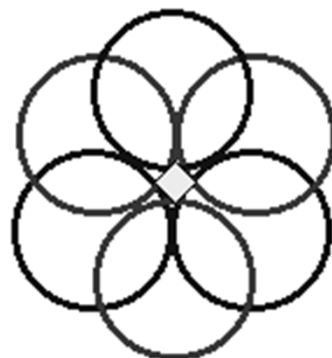
2 Octahedral hole



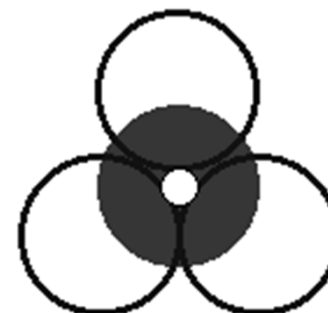
3



Tetraedrické T_+

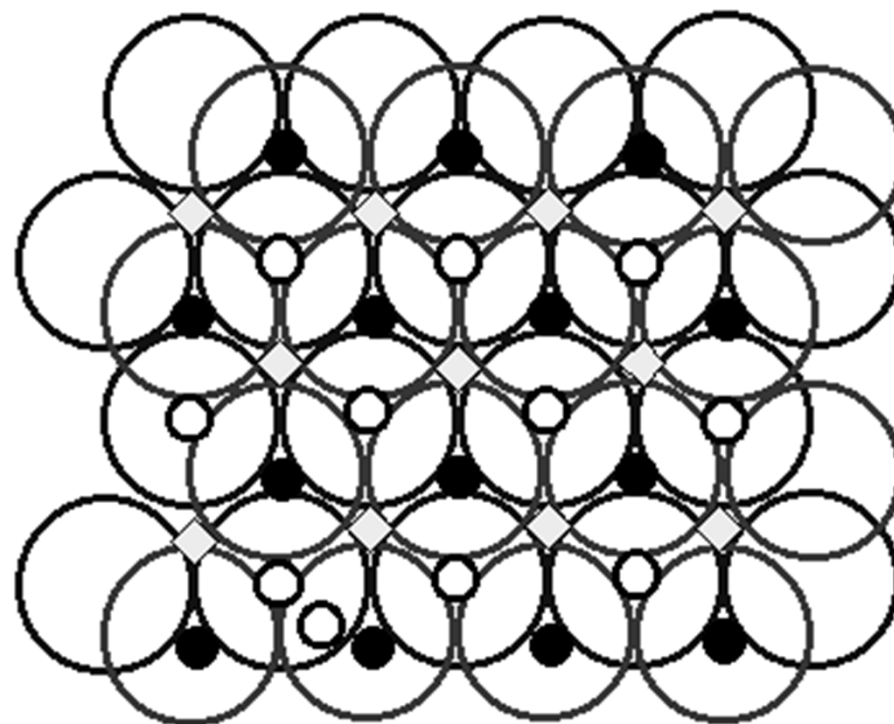


Oktaedrické O



Tetraedrické T_-

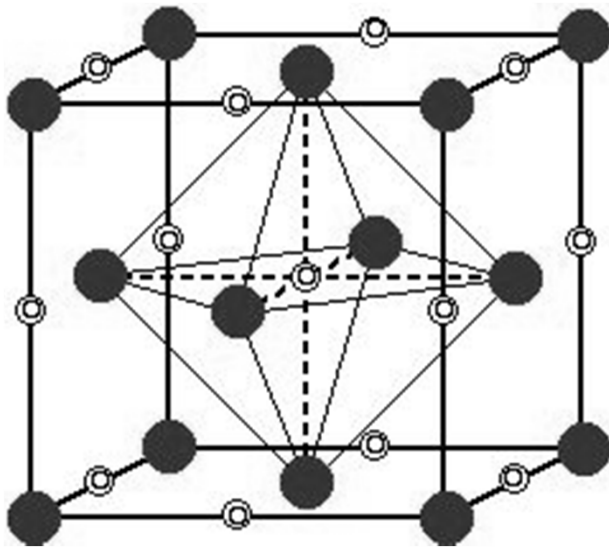
Na N nejtěsněji
uspořádaných atomů v
buňce připadá N
oktaedrických a $2N$
tetraedrických mezer



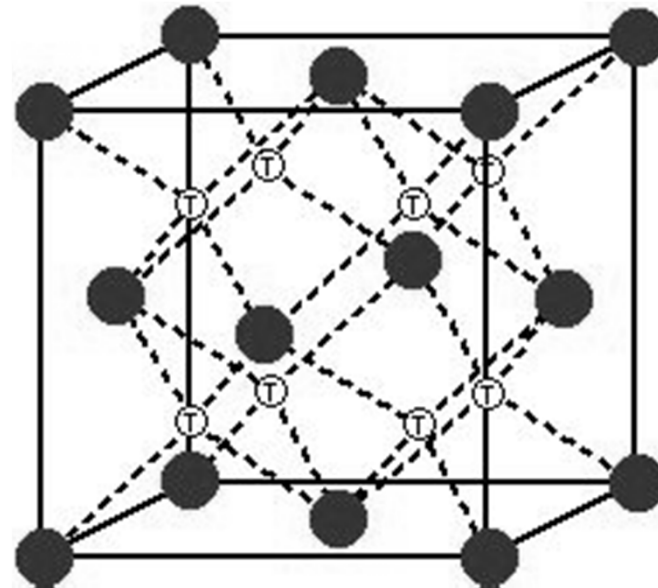
Dva typy mezer

Nejtěsnější kubické uspořádání = plošně centrovaná buňka

Počet atomů v buňce $N = 4$

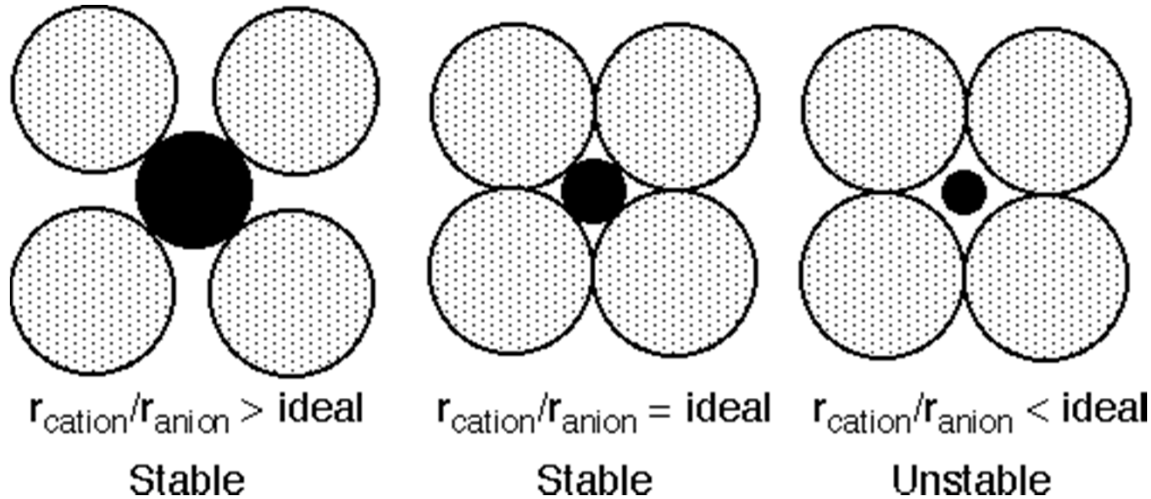


Oktaedrické mezery ($N = 4$)



Tetraedrické mezery ($2N = 8$)

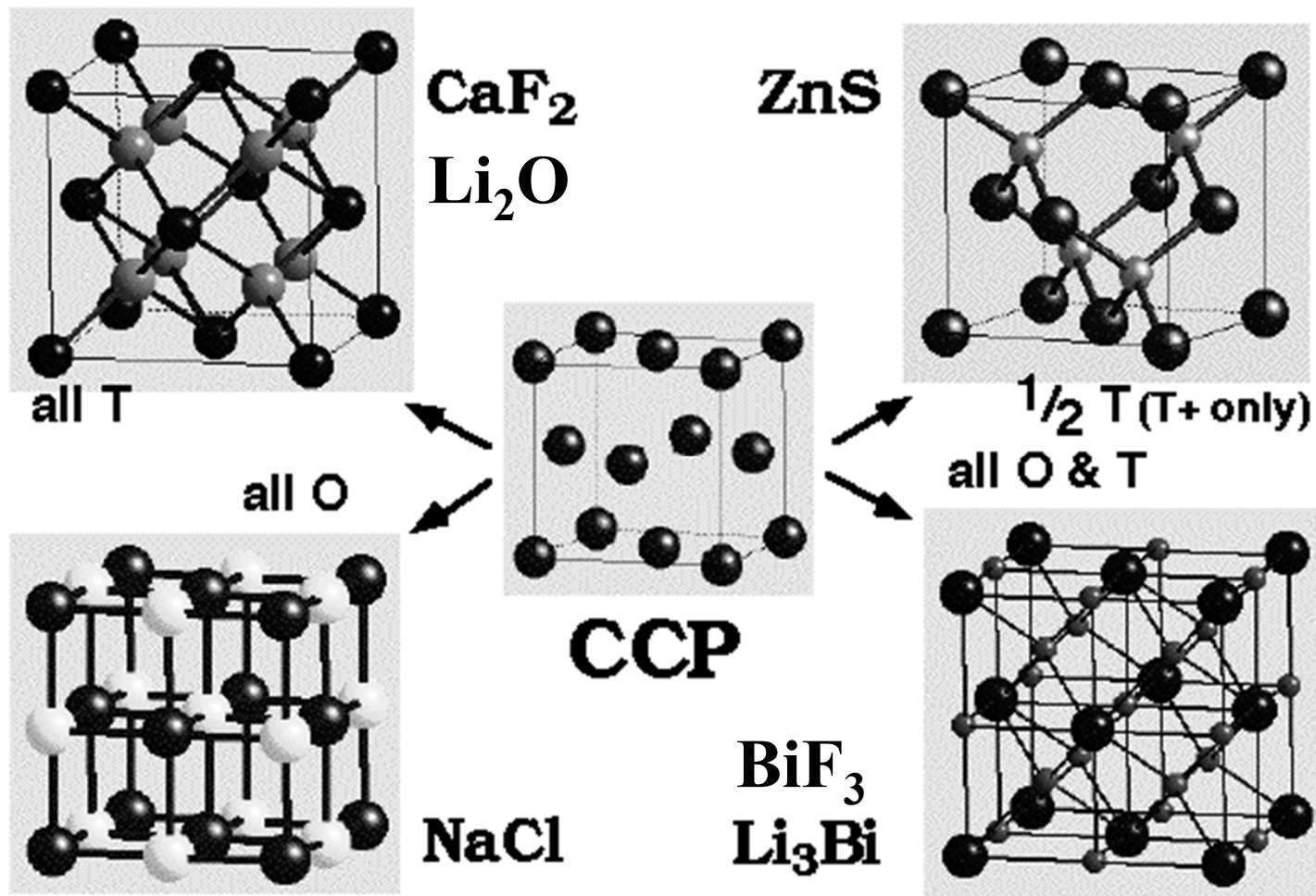
Poměr velikostí kationtu/aniontu



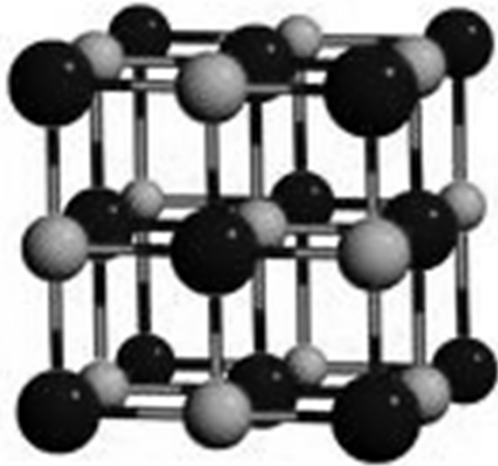
Koordinační č.	r/R
12 – kub. a hex.	1.00 (substituce)
8 – Kubická	0.732 – 1.00
6 – Oktaedrická	0.414 – 0.732
4 – Tetraedrická	0.225 – 0.414

↓
 Velikost
 mezery
 klesá

Struktury odvozené od nejtěsnějšího kubického uspořádání (CCP = FCC)

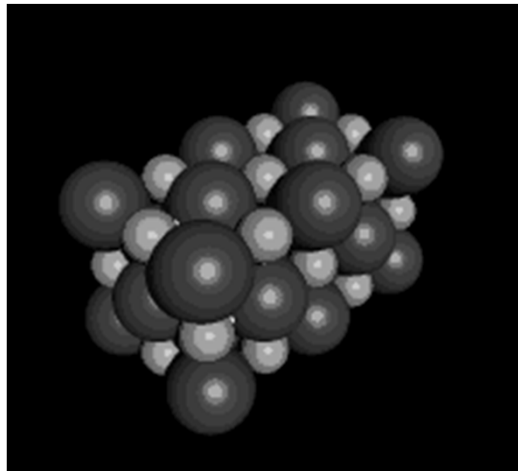
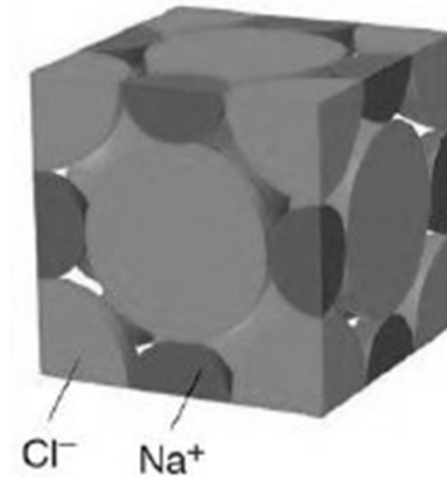


Chlorid sodný, NaCl



Nejtěsnější kubické
uspořádání Cl^-

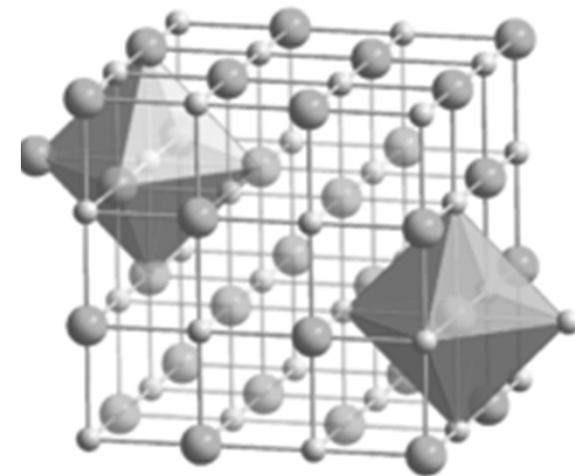
Na^+ obsazuje
oktaedrické mezery

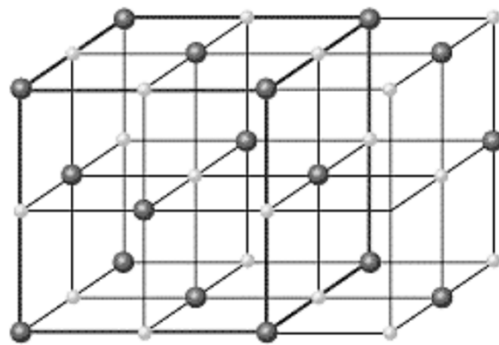
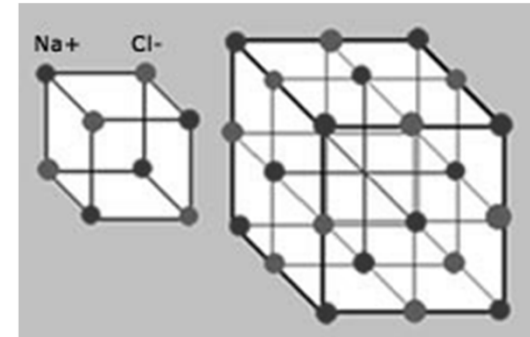
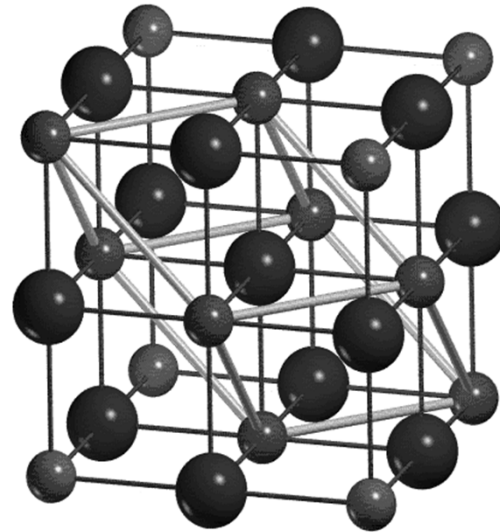
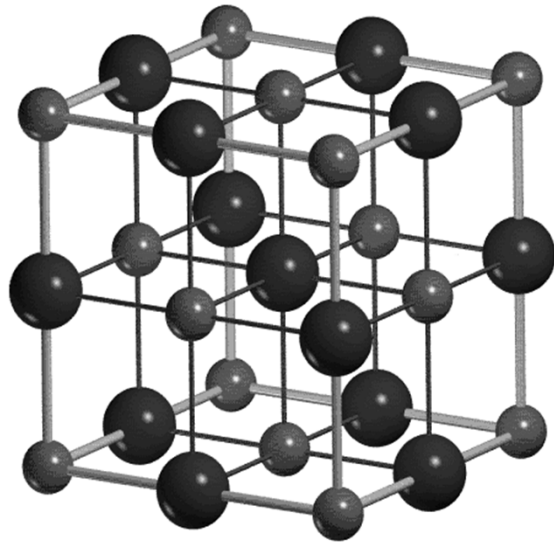


Koordinační číslo:

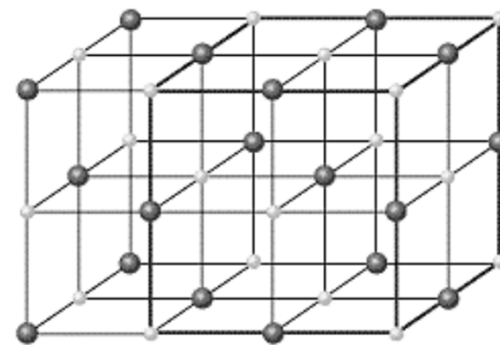
Na = 6

Cl = 6





(a)

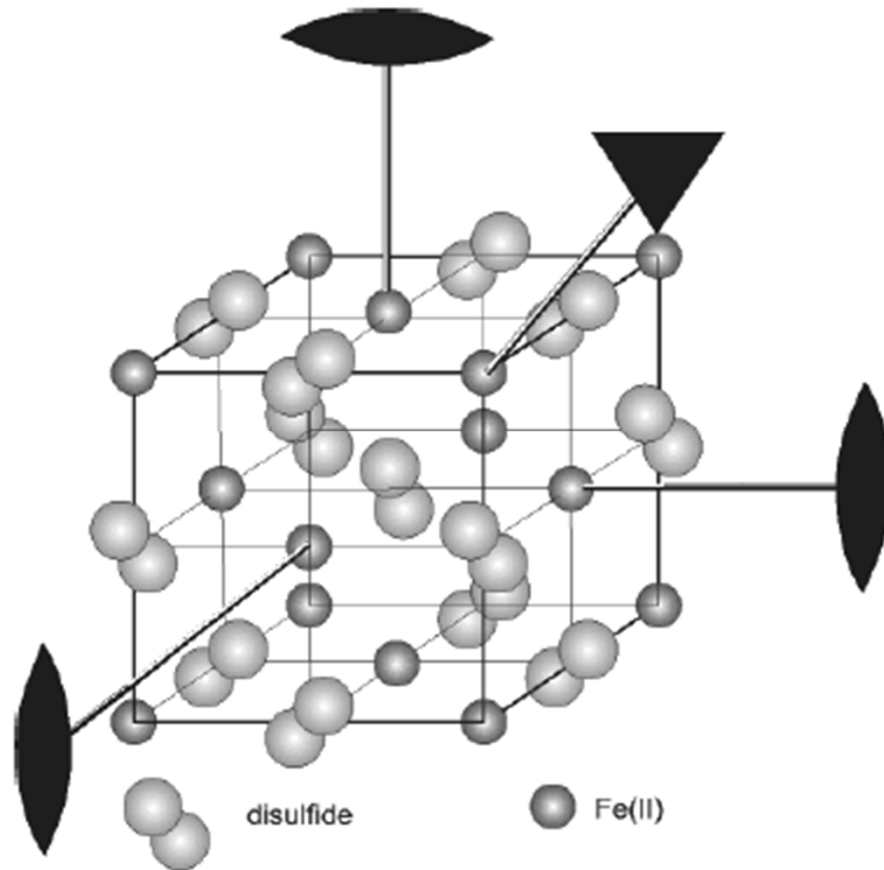
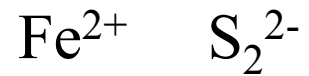
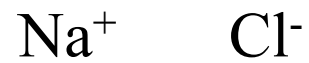


(b)

Dvě stejné nejtěsněji uspořádané kubické mřížky kationtů a aniontů

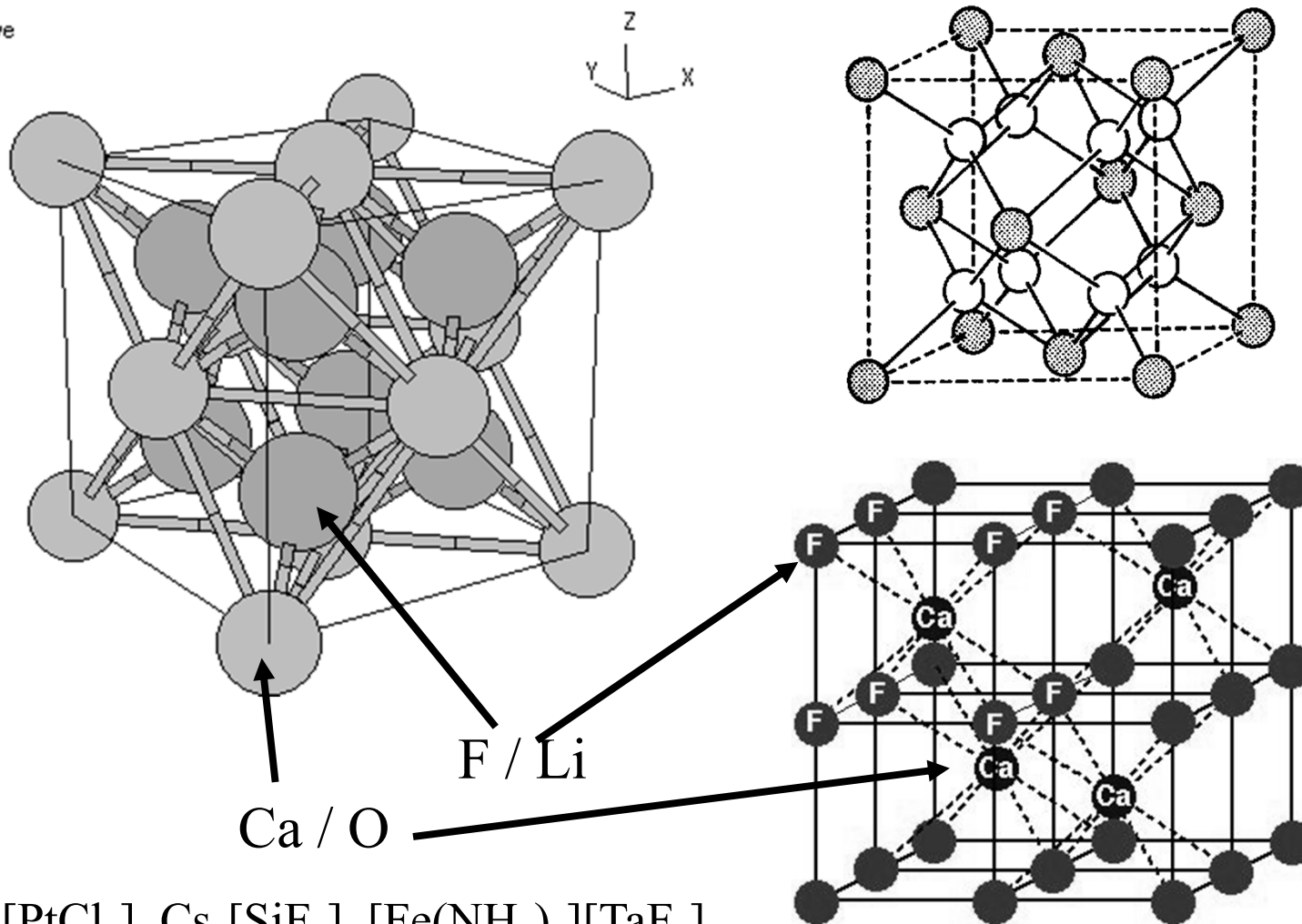
Struktura pyritu - FeS_2

Odvození složitějších struktur od jednoduchých strukturních typů



Fluorit, CaF_2 (inverzní typ Li_2O)

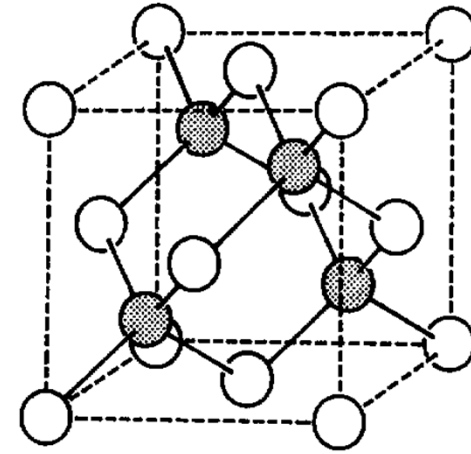
Active



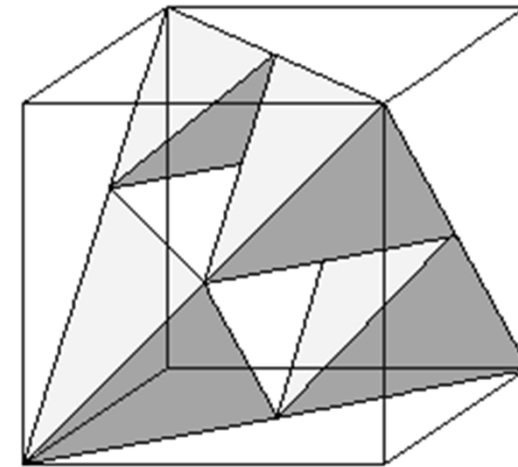
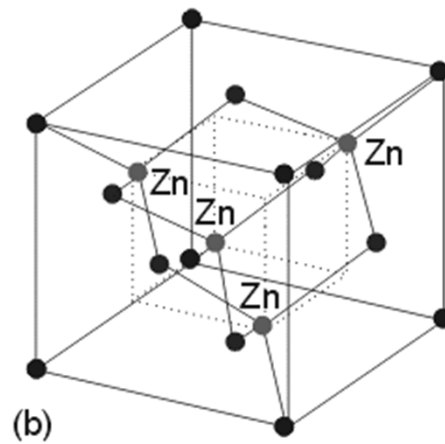
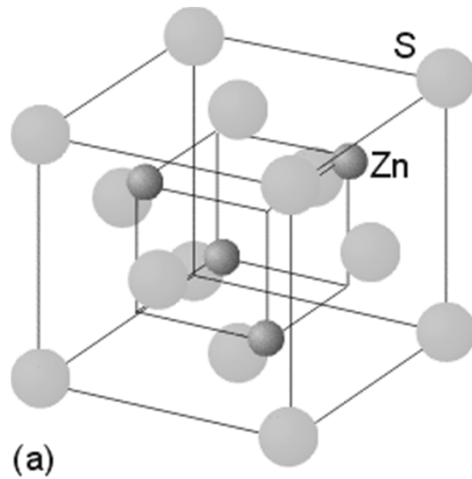
$\text{K}_2[\text{PtCl}_6]$, $\text{Cs}_2[\text{SiF}_6]$, $[\text{Fe}(\text{NH}_3)_6][\text{TaF}_6]_2$

Sfalerit, ZnS

Nejtěsnější kubické uspořádání S
Zn obsazuje $\frac{1}{2}$ tetraedrických mezer



Nejtěsnější kubické uspořádání Zn
S obsazuje $\frac{1}{2}$ tetraedrických mezer

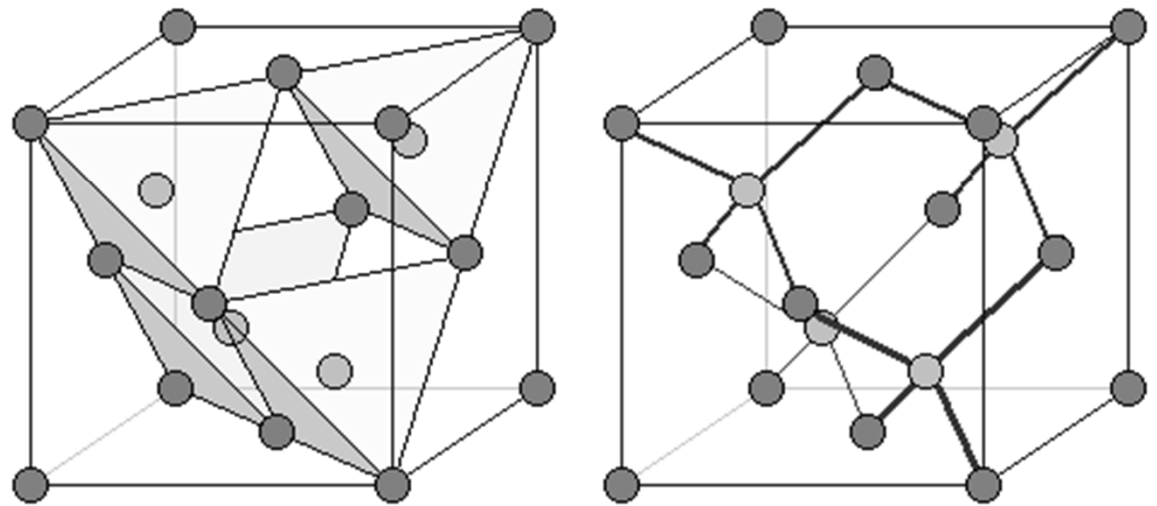
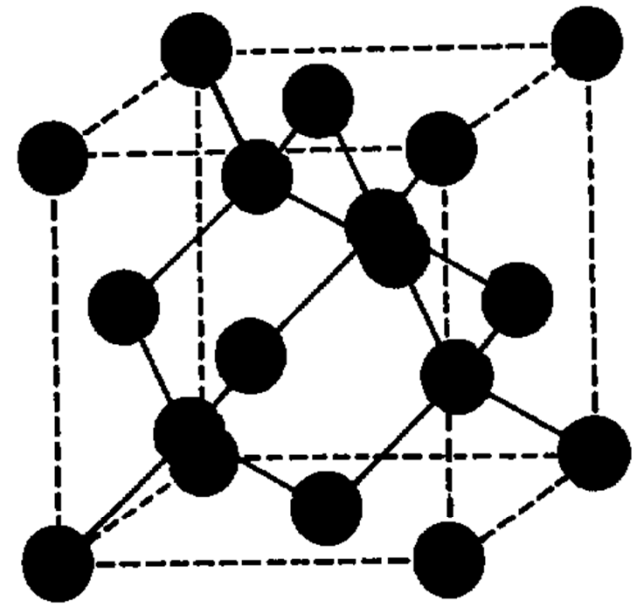
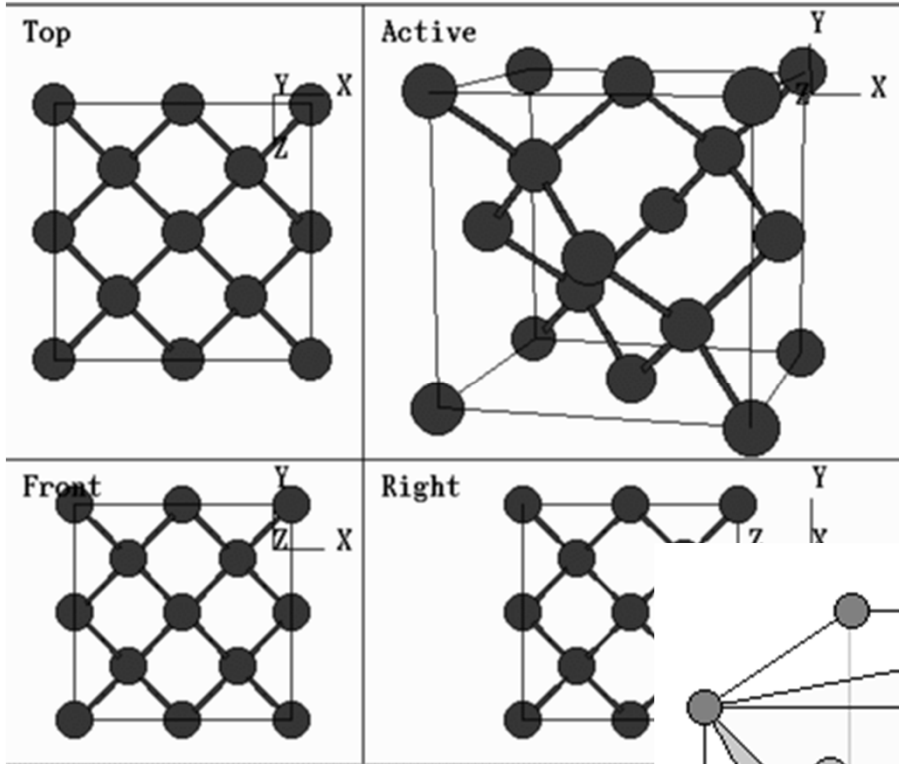


Koordinační číslo:

Zn = 4

S = 4

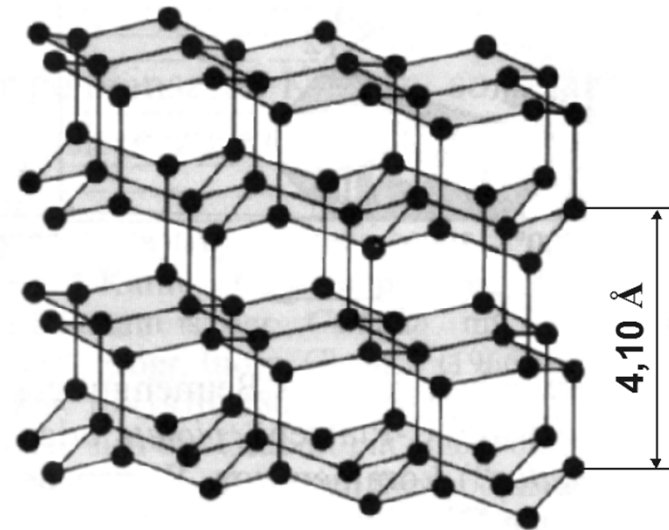
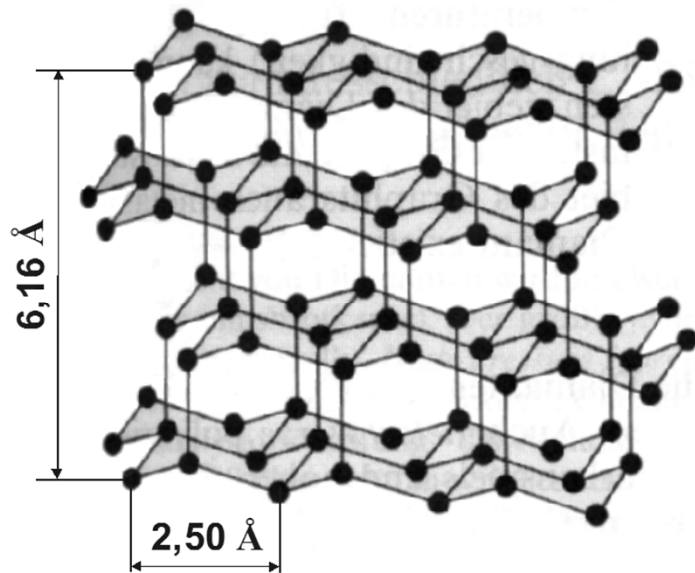
Diamant, C



Diamant, C

kubický

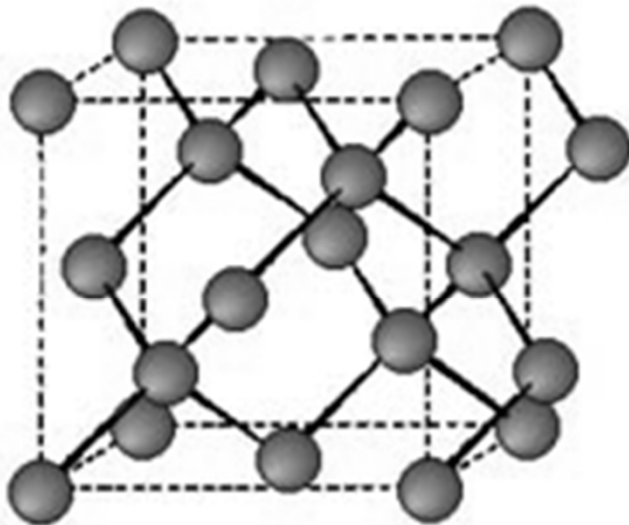
hexagonální
lonsdaleite



SiO₂ kristobalit

SiO₂ tridymit
led

Struktura prvků 14. skupiny

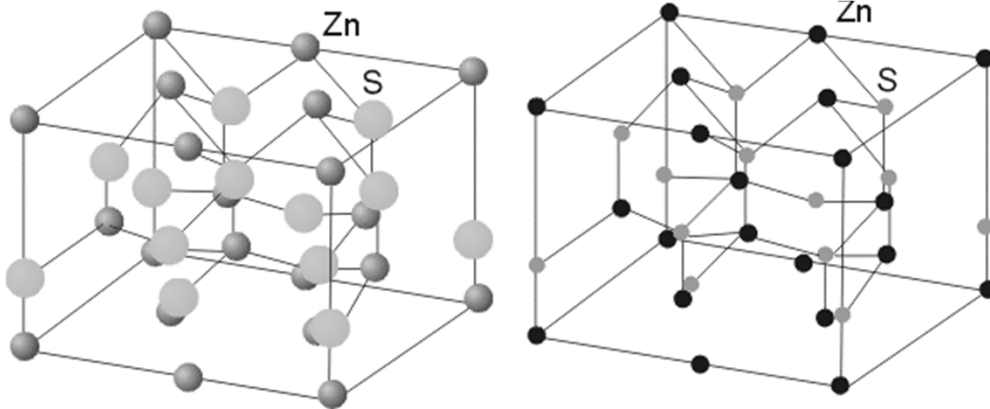


	a (Å)	d (g.cm ⁻³)
C	3.566	3.515
Si	5.431	2.329
Ge	5.657	5.323
a-Sn	6.489	7.285

Stejná struktura – velikost buňky roste směrem dolů ve skupině

Wurzit, ZnS

Polymorfie ZnS

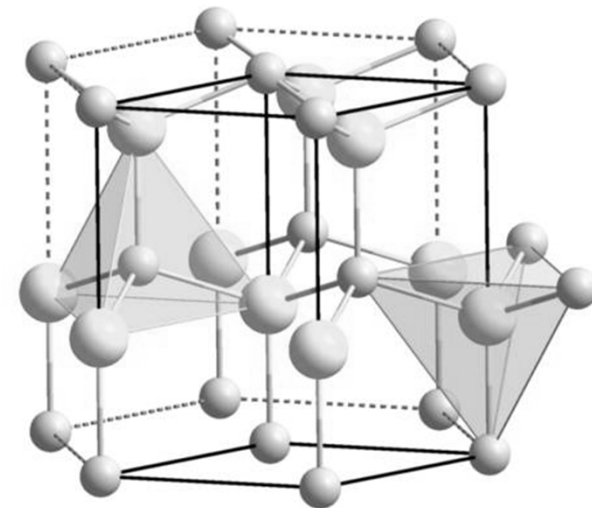


Nejtěsnější hexagonální
uspořádání S
Zn obsazuje
 $\frac{1}{2}$ tetraedrických mezer

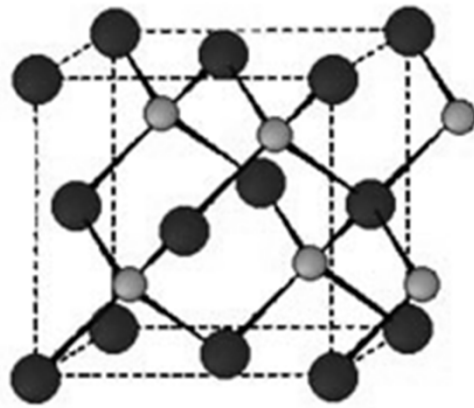
Koordinační číslo:

Zn = 4

S = 4



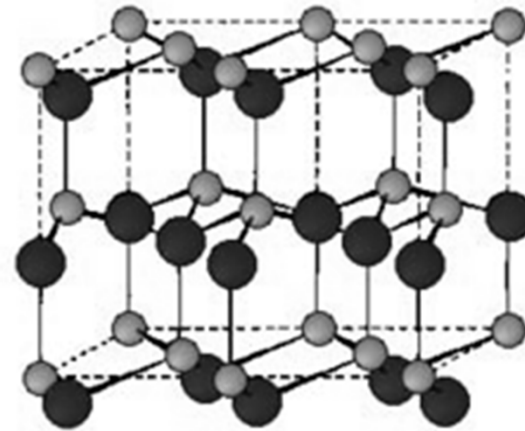
Polovodiče 13-15 a 12-16



Sfalerit

InP, GaAs

HgTe, CdTe

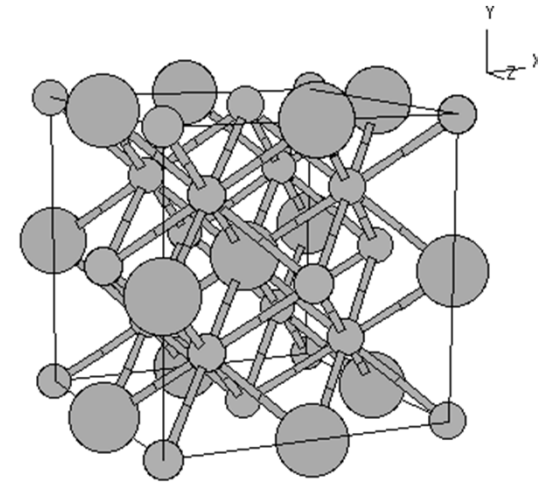
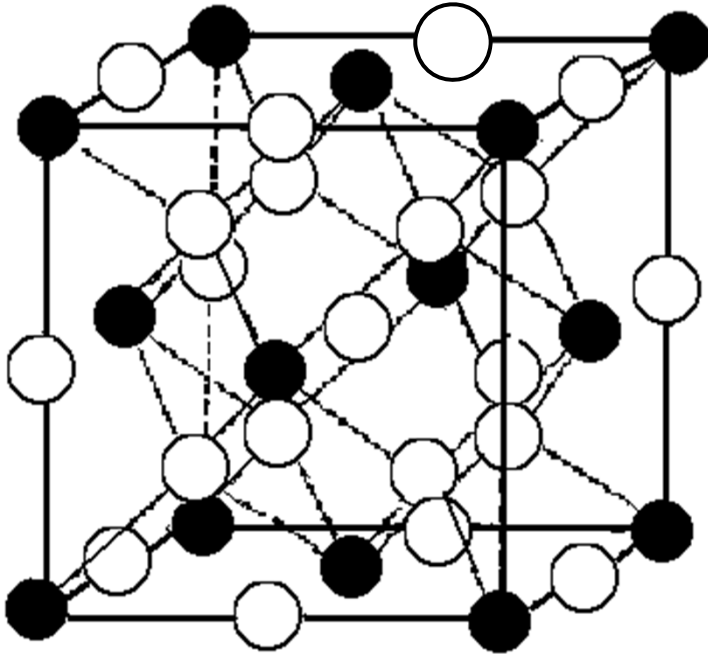


Wurzit

ZnO, CdSe

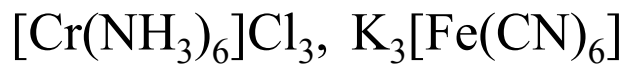
AlN, GaN

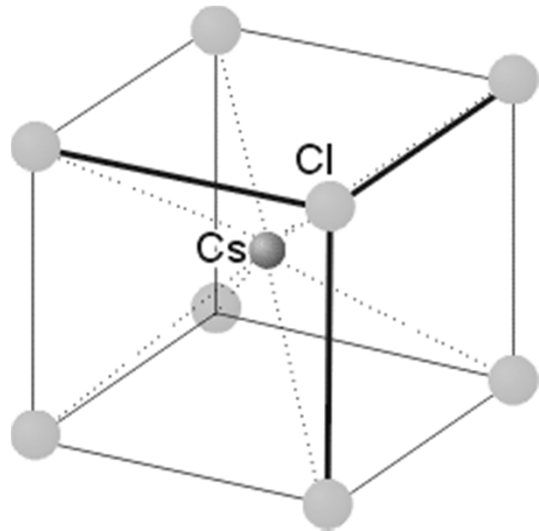
$\text{BiF}_3/\text{Li}_3\text{Bi}$



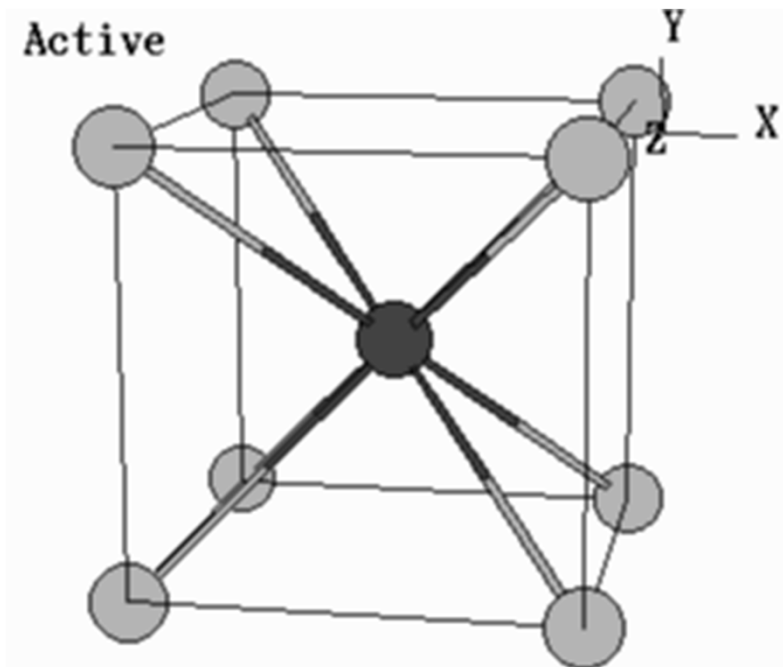
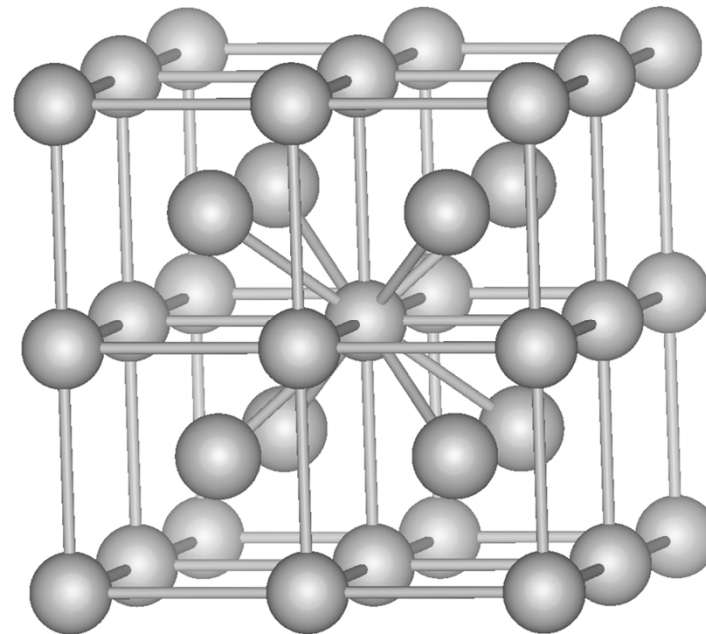
**Nejtěsnější kubické uspořádání Bi (4)
F obsazuje tetraedrické mezery (8) a
oktaedrické mezery (4)**

**Nejtěsnější kubické uspořádání Bi (4)
Li obsazuje tetraedrické mezery (8) a
oktaedrické mezery (4)**





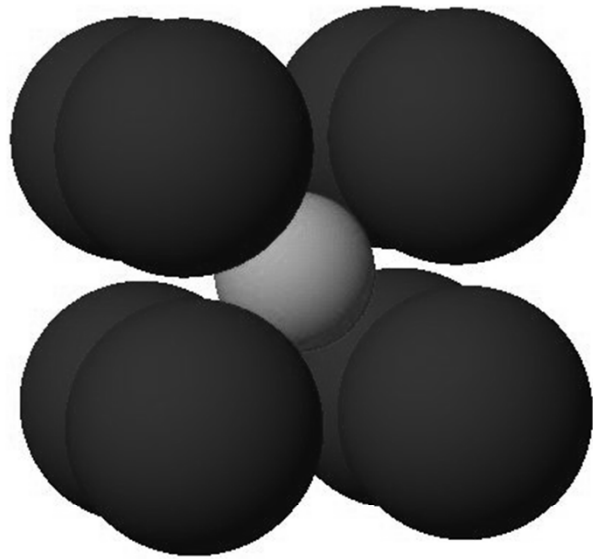
CsCl



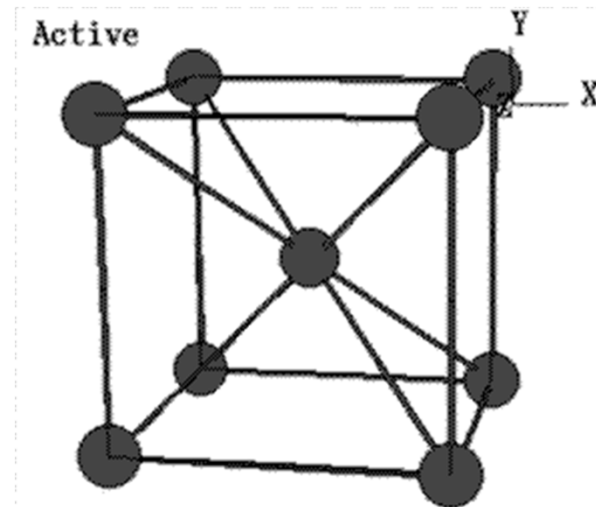
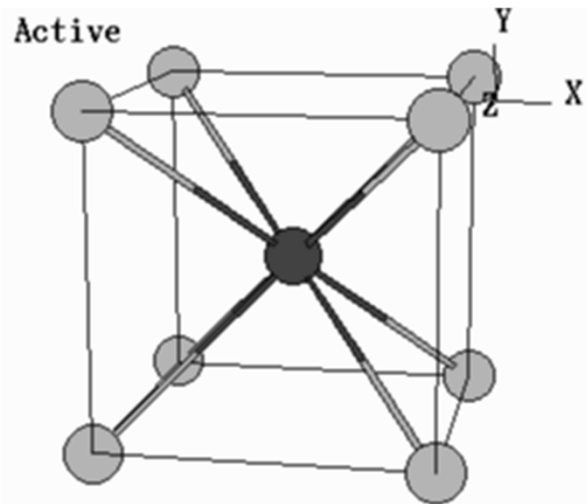
Koordinační číslo:

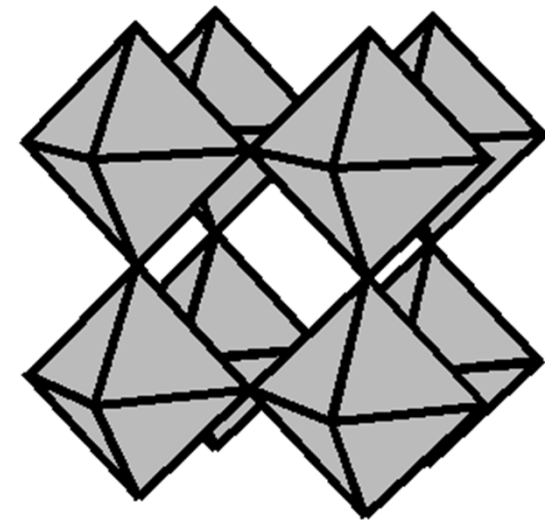
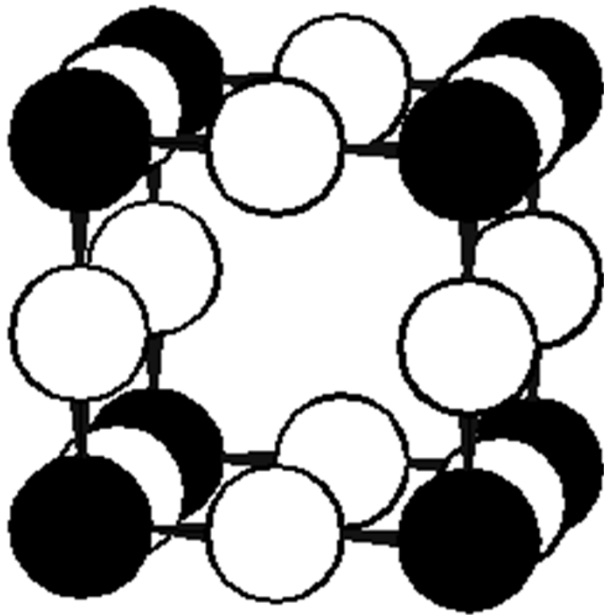
Cs = 8

Cl = 8



CsCl není tělesně centrovaná
kubická buňka

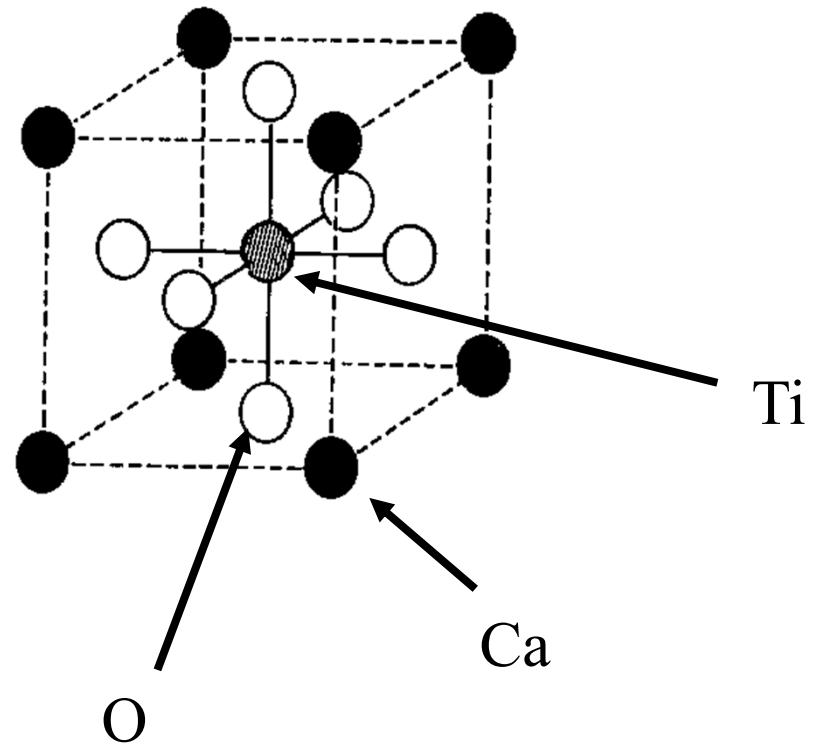
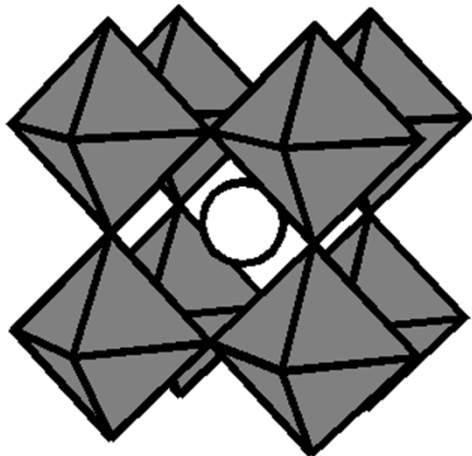
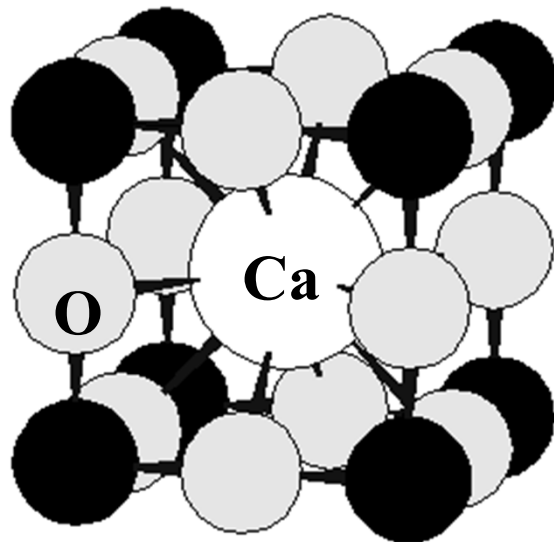




Primitivní kubická

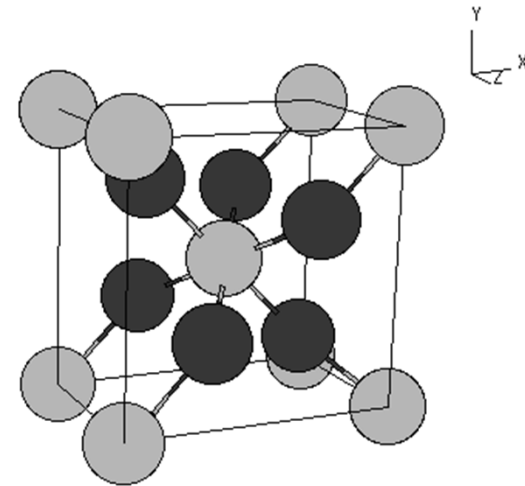
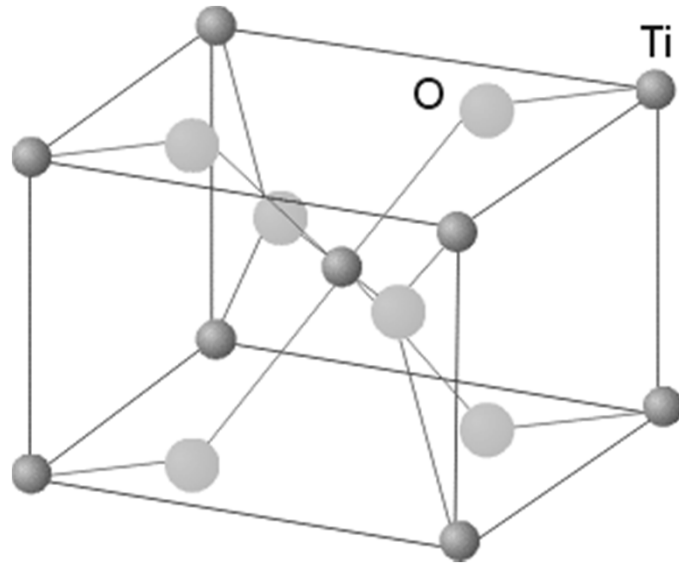
Perovskit CaTiO_3

Dva ekvivalentní pohledy na základní buňku perovskitu



Podobnost s CsCl

Rutil, TiO_2



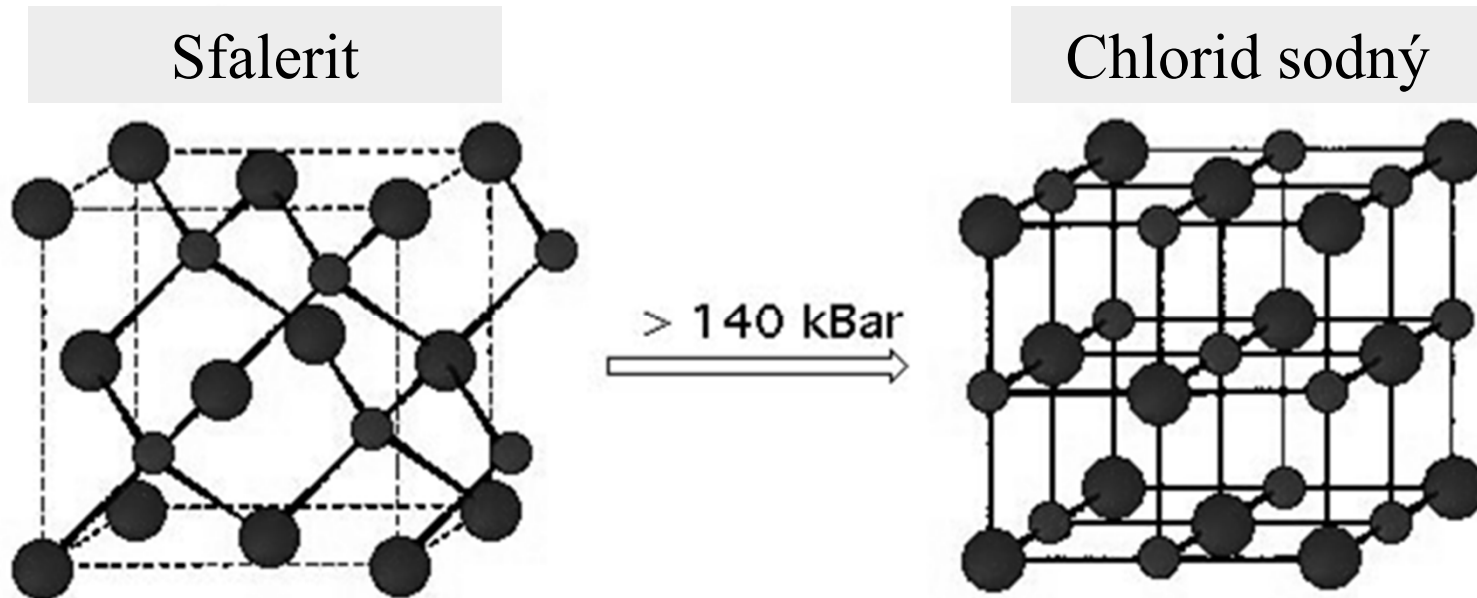
Pravidlo koordinačních čísel



$$\frac{k.\check{c}.(A)}{k.\check{c}.(B)} = \frac{y}{x}$$

Koordinační čísla jsou v obráceném poměru stechiometrických koeficientů

Fázové přeměny za zvýšeného tlaku



Důsledky zvýšení tlaku

Zvýšení koordinačního čísla

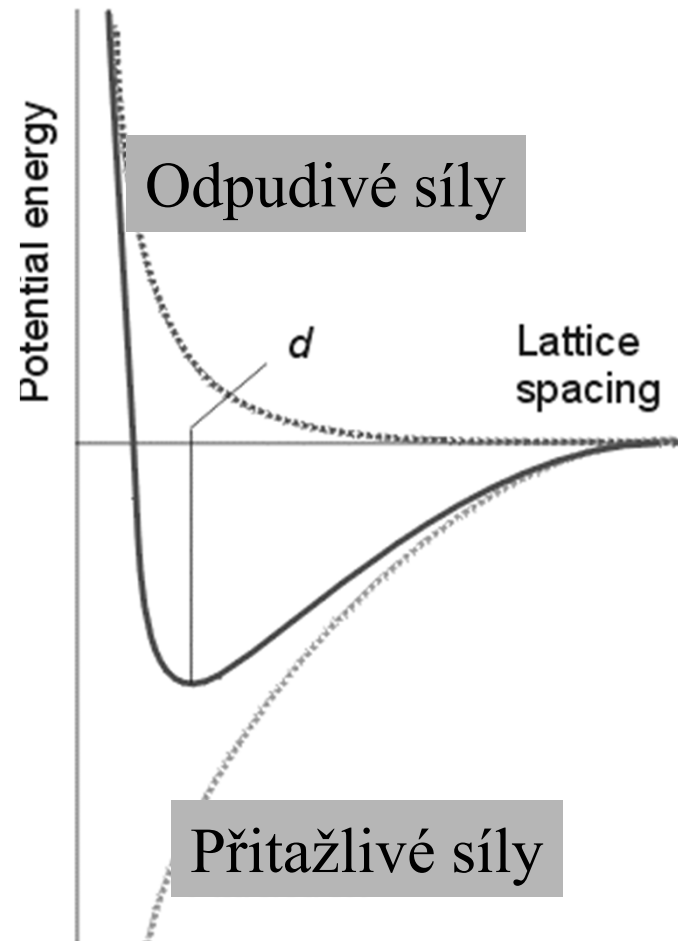
Zvýšení hustoty

Prodloužení vazebných délek

Přechod ke kovovým modifikacím 57

Mřížková energie

Mřížková energie je energie, která se uvolní při vytvoření jednoho molu pevné iontové sloučeniny z iontů v plynném stavu



$$L = E_{\text{coul}} + E_{\text{rep}}$$

Iontový pár

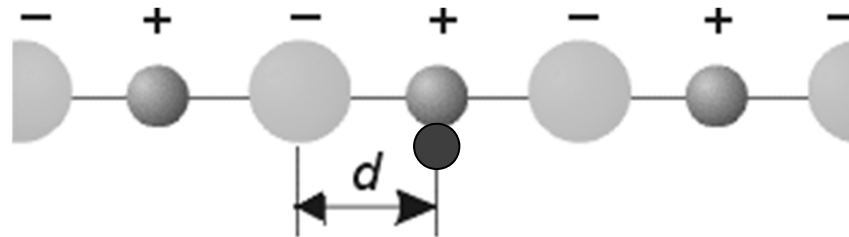
$$E_{\text{coul}} = \frac{1}{4\pi\epsilon_0} \frac{Z_A Z_B e^2}{d}$$

$$E_{\text{rep}} = \frac{B}{d^n}$$

n = Bornův exponent
(experimentálně zjistit z měření stlačitelnosti)

Madelungova konstanta

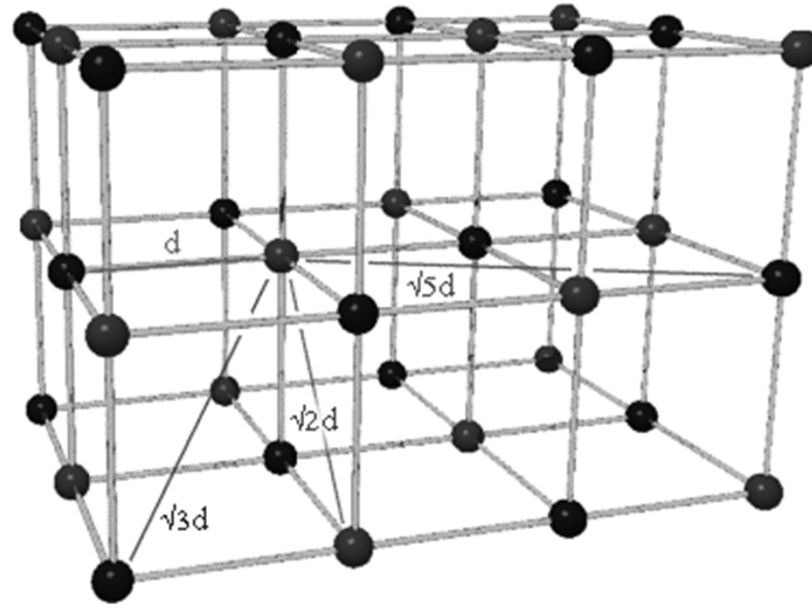
Nutno přihlédnout ke všem interakcím v krystalové mřížce
- Se všemi ionty postupně vzdálenějších vrstvách



$$E_{coul} = \frac{e^2}{4\pi\epsilon_0} \frac{Z_A Z_B}{d} \left[+2\frac{1}{1} - 2\frac{1}{2} + 2\frac{1}{3} - 2\frac{1}{4} + \dots \right] = \frac{e^2}{4\pi\epsilon_0} \frac{Z_A Z_B}{d} 2 \ln 2$$

Madelungova konstanta M
(pro lineární uspořádání)
= součet konvergentní řady

Madelungova konstanta pro NaCl



$$E_{coul} = \frac{e^2}{4\pi\epsilon_0} \frac{Z_A Z_B}{d} \left[+6 \frac{1}{1} - 12 \frac{1}{\sqrt{2}} + 8 \frac{1}{\sqrt{3}} - 6 \frac{1}{\sqrt{4}} + 24 \frac{1}{\sqrt{5}} + \dots \right] = \frac{e^2}{4\pi\epsilon_0} \frac{Z_A Z_B}{d} M$$

Konvergentní řada

Madelungovy konstanty pro strukturní typy

Strukturní typ	M
NaCl	1.74756
CsCl	1.76267
CaF ₂	2.519
ZnS Sfalerit	1.63805
ZnS Wurtzite	1.64132

Mřížková energie

Pro 1 mol iontů

Přitažlivá

$$E_{Coul} = N_A M \frac{Z_A Z_B e^2}{4\pi\epsilon_0 d}$$

Odpudivá

$$E_{rep} = N_A \frac{B}{d^n}$$

$$L = E_{coul} + E_{rep}$$

$$L = N_A M \frac{Z_A Z_B e^2}{4\pi\epsilon_0 d} + N_A \frac{B}{d^n}$$

Najít minimum $dL/d(d) = 0$

Mřížková energie

Born – Landeho rovnice

$$L = N_A M \frac{Z_A Z_B e^2}{4\pi\epsilon_0 d} \left(1 + \frac{1}{n} \right)$$

Born – Mayerova rovnice

$$L = N_A M \frac{Z_A Z_B e^2}{4\pi\epsilon_0 d} \left(1 - \frac{d^*}{d} \right)$$

El. konfigur.	n
He	5
Ne	7
Ar	9
Kr	10
Xe	12

$$d^* = 0.345 \text{ \AA}$$

Mřížková energie

Kapustinski

M/v je přibližně konstantní pro všechny typy struktur
 v = počet iontů ve vzorcové jednotce

M nahrazeno $0.87 v$, není nutno znát strukturu

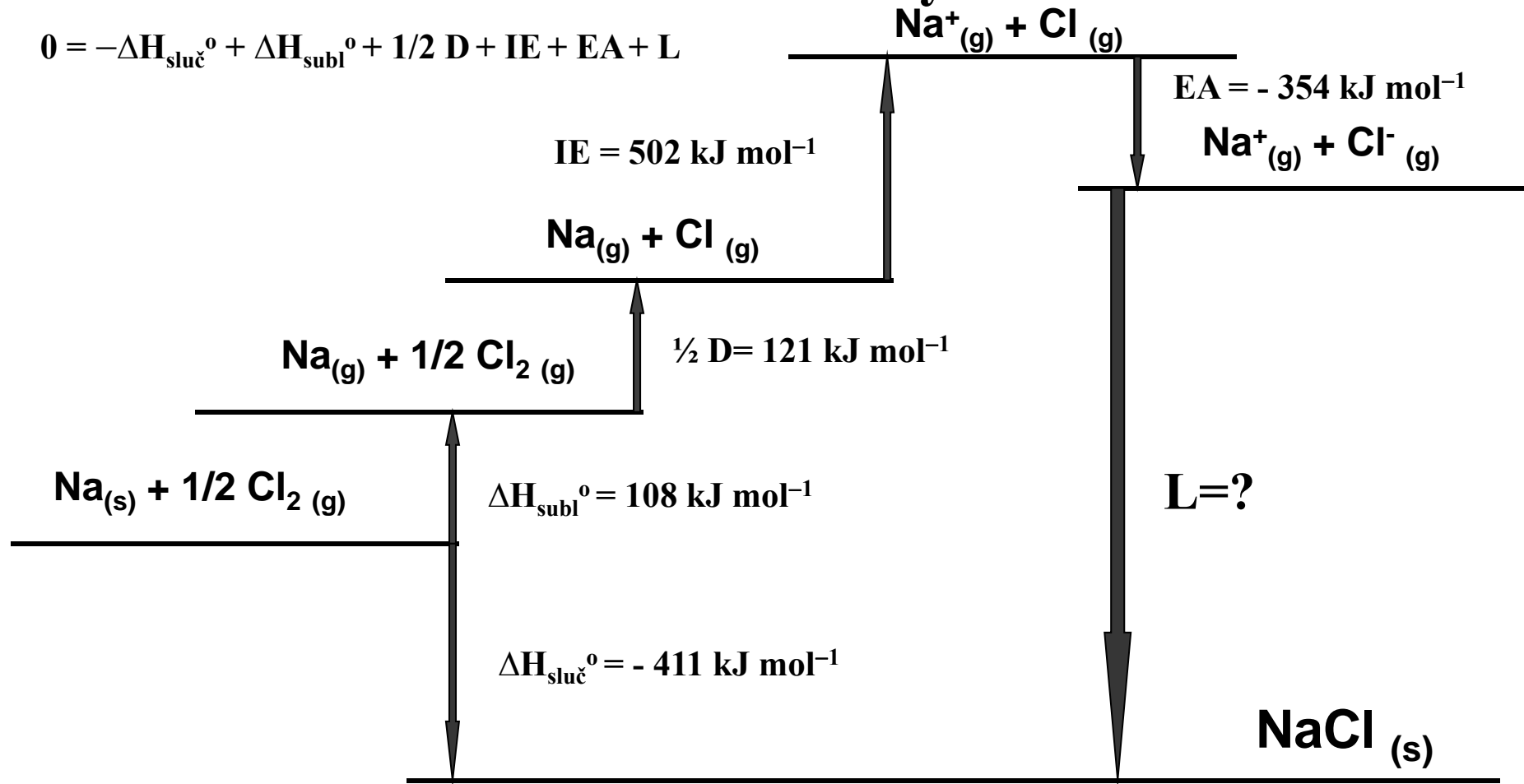
$$L = 1210v \frac{Z_A Z_B}{d} \left(1 - \frac{0,345}{d} \right)$$

Kapustinski

struktura	M	CN	stechiom	M / v
CsCl	1.763	(8,8)	AB	0.882
NaCl	1.748	(6,6)	AB	0.874
ZnS sfalerit	1.638	(4,4)	AB	0.819
ZnS wurtzit	1.641	(4,4)	AB	0.821
CaF ₂ fluorit	2.519	(8,4)	AB ₂	0.840
TiO ₂ rutil	2.408	(6,3)	AB ₂	0.803
CdI ₂	2.355	(6,3)	AB ₂	0.785
Al ₂ O ₃	4.172	(6,4)	A ₂ B ₃	0.834

v = počet iontů ve vzorcové jednotce

Born-Haberův cyklus



$$0 = 411 + 108 + 121 + 502 + (-354) + L$$

$$L = -788 \text{ kJ mol}^{-1} \quad 66$$

Mřížková energie NaCl

Výpočtem z Born – Landeho rovnice $L = -765 \text{ kJ mol}^{-1}$

Uvažujeme jen iontový příspěvek

Měřením z Born – Haberova cyklu $L = -788 \text{ kJ mol}^{-1}$

Mřížková energie se skládá z iontového a kovalentního příspěvku